



FACULTY OF BIOSCIENCE ENGINEERING
Dynamic systems: Cascade Control

PORTFOLIO

Dynamic systems: Cascade Control

Lienert de Maeyer

Academiejaar 2022 - 2023

Inhoudsopgave

1 Toepassing van een dynamisch systeem: cascaderегeling van de vloeistofhoogte in een watertank	3
1.1 Afleiding van de transferfunctie van de solenoïdklep	3
1.1.1 Transferfunctie evaluatiemodel	3
1.1.2 Transferfunctie ontwerpmodel	4
1.2 Simulatie van het dynamisch gedrag van de solenoïdklep	5
1.2.1 Toestandsvergelijking van de solenoïdklep	5
1.3 Simuleren van debiet en klepstand zonder positieregeling	6
1.3.1 Evaluatiemodel	6
1.3.2 Ontwerpmodel	6
1.3.3 Matlabsimulaties	7
1.4 Simuleren van debiet en klepstand met positieregeling	8
1.4.1 P-regelaar	8
1.4.1.1 P-regelaar evaluatiemodel	8
1.4.1.2 P-regelaar ontwerpmodel	8
1.4.2 PI-regelaar	9
1.4.2.1 PI-regelaar evaluatiemodel	9
1.4.2.2 PI-regelaar ontwerpmodel	10
1.4.3 matlabsimulatie P-regelaar	10
1.4.4 matlabsimulatie PI-regelaar	11
1.5 Vergelijking van de polen	12
1.6 Voordelen van terugkoppeling	12
1.6.1 Eerste voordeel van terugkoppeling	12
1.7 Tweede voordeel van terugkoppeling	13
1.7.1 Opmerking	13
2 Analyse van regelsystemen in het complexe s-vlak	14
2.1 Het Routh-Hurwitz criterium	14
2.2 Poolbaananalyse	15
2.2.1 De poolbaanprocedure toepassen	15
2.2.1.1 Transferfunctie 1	16
2.2.1.2 Transferfunctie 2	20
2.2.1.3 Transferfunctie 3	22
2.2.1.4 Transferfunctie 4	25
2.3 Poolbaan solenoïdklep	27
2.3.1 Gesloten-kring systeem met P-regelaar	27
2.3.1.1 Evaluatiemodel	28
2.3.1.2 Ontwerpmodel	29
2.3.2 Gesloten-kring systeem met PI-regelaar	30
2.3.2.1 Evaluatiemodel	30
2.3.2.2 Ontwerpmodel	31
3 Analyse van regelsystemen in het frequentiedomein	32
3.1 Bode-analyse van het dynamisch gedrag van de solenoïdklep met positieregeling . .	32
3.1.1 Magnitude- en faseplot van de open-kring transferfunctie	32
3.1.1.1 P-regelaar: evaluatiemodel	32
3.1.1.2 P-regelaar: ontwerpmodel	33
3.1.1.3 PI-regelaar: evaluatiemodel	34
3.1.1.4 PI-regelaar: ontwerpmodel	35
3.1.2 Magnitudeplot van de gesloten-kring transferfunctie	36
3.1.2.1 P-regelaar: evaluatiemodel	37
3.1.2.2 P-regelaar: ontwerpmodel	37
3.1.2.3 PI-regelaar: evaluatiemodel	38
3.1.2.4 PI-regelaar: ontwerpmodel	38
3.1.3 Magnitudeplot van de sensitiviteitsfunctie	38
3.1.3.1 P-regelaar: evaluatiemodel	39
3.1.3.2 P-regelaar: ontwerpmodel	40
3.1.3.3 PI-regelaar: evaluatiemodel	40
3.1.3.4 PI-regelaar: ontwerpmodel	41

3.2	Pooldiagramma	42
3.2.1	$G_1(s) = s$	42
3.2.2	$G_2(s) = s^2$	42
3.2.3	$G_3(s) = \frac{1}{s^2}$	43
3.2.4	$G_4(s) = 1 + \tau s$	43
3.2.5	$G_5(s) = \frac{1}{1+\tau s}$	44
3.2.6	$G_6(s) = \frac{\tau s}{1+\tau s}$	44
3.2.7	$G_7(s) = \frac{1}{(1+\tau_1 s)(1+\tau_2 s)}$	45
3.2.8	$G_8(s) = \frac{1}{(1+\tau_1 s)(1+\tau_2 s)(1+\tau_3 s)}$	45
3.2.9	$G_9(s) = \frac{1+\tau_1 s}{s(1+\tau_2 s)(1+\tau_3 s)}$	46
3.2.10	$G_{10}(s) = \frac{\omega_n^2}{s(s^2+2\zeta\omega_n s+\omega_n^2)}$	46
3.3	Dode tijd pooldiagramma	47
3.3.1	$G_{11}(s) = \frac{\omega_n^2}{(s^2+2\zeta\omega_n s+\omega_n^2)}$ en $G_{12}(s) = \frac{\omega_n^2 e^{-sT_d}}{(s^2+2\zeta\omega_n s+\omega_n^2)}$	47
4	Matlab code	48

1 Toepassing van een dynamisch systeem: cascaderегeling van de vloeistofhoogte in een watertank

1.1 Afleiding van de transferfunctie van de solenoïdklep

1.1.1 Transferfunctie evaluatiemodel

Het instroomdebiet in een vloeistoftank kan gestuurd worden met behulp van een proportionele solenoïdklep. Een dergelijke klep bestaat uit een klephuis waarin een mechanische spoel kan bewegen tegen een veer in. Het vloeistofdebiet doorheen de klep hangt af van de relatieve positie $x(t)$ van de mechanische spoel ten opzichte van de klephuis. Deze mechanische spoel kan worden beschouwd als een éénvoudig massa-veer-dempersysteem met m de massa van de mechanische spoel, c de viskeuze wrijvingscoëfficiënt en k de veerconstante van de veer. Op de mechanische spoel is een permanente magneet bevestigd waarbij tussen de veldlijnen van de elektromagneet een elektrische spoel wordt geplaatst. Wanneer er stroom doorheen de elektrische geleider van de elektrische spoel stroomt en wanneer deze loodrecht op de veldlijnen van de elektromagneet staat, wordt er een kracht F op de magneet geïnduceerd die gelijk is aan:

$$F(t) = B_c l_c i = K_c i(t) \quad (1)$$

met B_c de magnetische veldsterkte, l_c de lengte van de elektrische geleider en $i(t)$ de elektrische stroom.

De bewegingsvergelijking van de mechanische spoel kan dan als volgt geschreven worden:

$$m \frac{d^2 x}{dt^2} + c \frac{dx}{dt} + kx = F = K_c i(t) \quad (2)$$

of

$$\frac{d^2 x}{dt^2} + \frac{c}{m} \frac{dx}{dt} + \frac{k}{m} x = \frac{K_c}{m} i(t) \quad (3)$$

We zetten (3) om naar het Laplacedomein en zo krijgen we de transferfunctie van de mechanische spoel:

$$\frac{x}{i} = \frac{\frac{K_c}{m}}{s^2 + \frac{c}{m}s + \frac{k}{m}} \quad (4)$$

Door het aanleggen van een spanning $v(t)$ over de elektrische spoel wordt de elektrische stroom $i(t)$ gerealiseerd. Verder heeft de elektrische spoel een weerstand R en een inductantie L waarbij de bewegingsvergelijking van deze elektrische spoel als volgt wordt geschreven:

$$v - v_b = L \frac{di}{dt} + Ri \quad (5)$$

waarbij $v_b = K_e \frac{dx}{dt}$ de tegen-elektromotorische kracht is zodat (5) wordt:

$$\frac{L}{R} \frac{di}{dt} + i = \frac{v}{R} - \frac{K_e}{R} \frac{dx}{dt} \quad (6)$$

Vergelijking (6) wordt omgezet naar het Laplacedomein zodat de transferfunctie van de elektrische spoel wordt verkregen:

$$i = \frac{\frac{1}{R}}{\frac{L}{R}s + 1} v - \frac{\frac{K_e}{R}s}{\frac{L}{R}s + 1} x \quad (7)$$

(7) wordt ingevuld in (4) om de relatie tussen de aangelegde spanning v over de elektrische spoel en de stand van de mechanische spoel x te bekomen in het Laplacedomein:

$$x = \frac{\frac{K_c}{m}}{s^2 + \frac{c}{m}s + \frac{k}{m}} \left(\frac{\frac{1}{R}}{\frac{L}{R}s + 1} v - \frac{\frac{K_e}{R}s}{\frac{L}{R}s + 1} x \right)$$

$$x \left(1 + \frac{\frac{K_c K_e}{mR} s}{(s^2 + \frac{c}{m}s + \frac{k}{m})(\frac{L}{R}s + 1)} \right) = \frac{\frac{K_c}{mR}}{(s^2 + \frac{c}{m}s + \frac{k}{m})(\frac{L}{R}s + 1)} v$$

$$\frac{x}{v} = \frac{\frac{\frac{K_c}{mR}}{(s^2 + \frac{c}{m}s + \frac{k}{m})(\frac{L}{R}s + 1)}}{\left(1 + \frac{\frac{K_c K_e}{mR} s}{(s^2 + \frac{c}{m}s + \frac{k}{m})(\frac{L}{R}s + 1)} \right)}$$

$$\frac{x}{v} = \frac{\frac{K_c}{mR}}{(s^2 + \frac{c}{m}s + \frac{k}{m})(\frac{L}{R}s + 1) + \frac{K_c K_e}{mR}s}$$

$$\frac{x}{v} = \frac{\frac{K_c}{mR}}{\frac{L}{R}s^3 + (1 + \frac{cL}{mR})s^2 + (\frac{c}{m} + \frac{kL}{mR} + \frac{K_c K_e}{mR})s + \frac{k}{m}}$$

De teller en noemer worden vermenigvuldigd met m/k .

$$\frac{x}{v} = \frac{\frac{K_c}{kR}}{\frac{Lm}{Rk}s^3 + (\frac{m}{k} + \frac{cL}{kR})s^2 + (\frac{c}{k} + \frac{L}{R} + \frac{K_c K_e}{kR})s + 1} \quad (8)$$

$$\frac{x}{v} = \frac{\frac{K_c}{kR}}{a_0 s^3 + a_1 s^2 + a_2 s + 1} \quad (9)$$

met

$$a_0 = \frac{Lm}{Rk}; \quad a_1 = \frac{m}{k} + \frac{cL}{kR}; \quad a_2 = \frac{c}{k} + \frac{L}{R} + \frac{K_c K_e}{kR}$$

(8) stelt de transferfunctie voor van de solenoïdklep voor het evaluatiemodel.

1.1.2 Transferfunctie ontwerpmodel

Voor het ontwerpmodel geldt:

$$\dot{i} = 0 \quad (10)$$

We kunnen (6) dan herschrijven als

$$i = \frac{v}{R} - \frac{K_e}{R} \frac{dx}{dt} \quad (11)$$

In laplacedomein geeft dit:

$$i = \frac{v}{R} - \frac{K_e s}{R} x \quad (12)$$

Invullen in (4) geeft bijgevolg:

$$\frac{x}{\frac{v}{R} - \frac{K_e s}{R} x} = \frac{\frac{K_c}{m}}{s^2 + \frac{c}{m}s + \frac{k}{m}} \quad (13)$$

$$x = \frac{\frac{K_c}{m}}{s^2 + \frac{c}{m}s + \frac{k}{m}} (\frac{v}{R} - \frac{K_e s}{R} x) \quad (14)$$

$$x + (\frac{K_e s}{R} x) (\frac{\frac{K_c}{m}}{s^2 + \frac{c}{m}s + \frac{k}{m}}) = \frac{\frac{K_c}{m}}{s^2 + \frac{c}{m}s + \frac{k}{m}} (\frac{v}{R}) \quad (15)$$

$$x (\frac{(s^2 + \frac{c}{m}s + \frac{k}{m})R + \frac{K_c K_e}{m}s}{(s^2 + \frac{c}{m}s + \frac{k}{m})R}) = \frac{\frac{K_c}{m}}{s^2 + \frac{c}{m}s + \frac{k}{m}} (\frac{v}{R}) \quad (16)$$

$$x (\frac{Rs^2 + R\frac{c}{m}s + R\frac{k}{m} + \frac{K_c K_e}{m}s}{(s^2 + \frac{c}{m}s + \frac{k}{m})R}) = \frac{\frac{K_c}{m}}{s^2 + \frac{c}{m}s + \frac{k}{m}} (\frac{v}{R}) \quad (17)$$

$$\frac{x}{v} = \frac{\frac{K_c}{m}}{Rs^2 + R\frac{c}{m}s + R\frac{k}{m} + \frac{K_c K_e}{m}s} \quad (18)$$

$$\frac{x}{v} = \frac{\frac{K_c}{m}}{Rs^2 + (\frac{Rc}{m} + \frac{K_c K_e}{m})s + \frac{Rk}{m}} \quad (19)$$

$$\frac{x}{v} = \frac{\frac{K_c}{Rk}}{\frac{m}{k}s^2 + (\frac{c}{k} + \frac{K_c K_e}{Rk})s + 1} \quad (20)$$

Dit kan herschreven worden als:

$$\frac{x}{v} = \frac{\frac{K_c}{Rk}}{b_0 s^2 + b_1 s + 1} \quad (21)$$

met

$$b_0 = \frac{m}{k} \quad b_1 = \frac{c}{k} + \frac{K_c K_e}{Rk} \quad (22)$$

(21) stelt de transferfunctie voor van de solenoïdklep voor het ontwerpmodel.

1.2 Simulatie van het dynamisch gedrag van de solenoïdklep

1.2.1 Toestandsvergelijking van de solenoïdklep

Als toestanden kiezen we:

$$\begin{cases} x_1 = x \\ x_2 = \dot{x} \\ x_3 = i \end{cases}$$

We lossen de systeemvergelijking van de mechanische spoel op naar \dot{x}_2 en de systeemvergelijking van de elektrische spoel naar \dot{x}_3 .

mechanische spoel:

$$m\ddot{x} + c\dot{x} + kx = K_c i$$

$$\ddot{x} + \frac{c}{m}\dot{x} + \frac{k}{m}x = \frac{K_c}{m}i$$

$$\ddot{x} = -\frac{k}{m}x - \frac{c}{m}\dot{x} + \frac{K_c}{m}i$$

Invoegen van de toestanden resulteert in:

$$\dot{x}_2 = -\frac{k}{m}x_1 - \frac{c}{m}x_2 + \frac{K_c}{m}x_3 \quad (23)$$

elektrische spoel:

$$v - v_b = L \frac{di}{dt} + Ri$$

$$\frac{v}{L} - \frac{v_b}{L} = \frac{di}{dt} + \frac{R}{L}i$$

$$\frac{di}{dt} = -\frac{v_b}{L} - \frac{R}{L}i + \frac{v}{L}$$

Invullen van $v_b = K_e \dot{x}$:

$$\frac{di}{dt} = -\frac{K_e}{L}\dot{x} - \frac{R}{L}i + \frac{v}{L}$$

Invoegen van de toestanden resulteert in:

$$\dot{x}_3 = -\frac{K_e}{L}x_2 - \frac{R}{L}x_3 + \frac{v}{L} \quad (24)$$

Met vergelijking (23) en (24) kan de toestandsvorm worden opgesteld:

$$\begin{bmatrix} \dot{x}_1 \\ \dot{x}_2 \\ \dot{x}_3 \end{bmatrix} = \begin{bmatrix} 0 & 1 & 0 \\ -\frac{k}{m} & -\frac{c}{m} & \frac{K_c}{m} \\ 0 & -\frac{K_e}{L} & -\frac{R}{L} \end{bmatrix} \begin{bmatrix} x_1 \\ x_2 \\ x_3 \end{bmatrix} + \begin{bmatrix} 0 \\ 0 \\ \frac{1}{L} \end{bmatrix} v$$

$$y = \begin{bmatrix} 1 & 0 & 0 \\ \alpha & 0 & 0 \end{bmatrix} \begin{bmatrix} x_1 \\ x_2 \\ x_3 \end{bmatrix}$$

met α gelijk aan:

$$\alpha = C_d \pi d_{a1} \sqrt{P_s \frac{2}{\rho} x}$$

1.3 Simuleren van debiet en klepstand zonder positieregeling

Gevraagd is om de verandering van het debiet (Qa1) en de klepstand (x) in functie van de tijd te simuleren en de polen te berekenen. Hiervoor nemen we een tijdsvenster van 10 s en een stapgrootte van 0,001 s. Een DC-spanning van 0 V en -1 V die start op $t = 0$ s wordt geïntroduceerd en op $t = 2$ s wordt een stap aangelegd met een stapgrootte van 4 V. De evenwichtsklepstand is de halfopenstand.

We beschouwen de volgende drie situaties voor de parameters K_e en c :

1. $K_e = 0Vs/m$ en $c = 0.4Ns/m$
2. $K_e = 0Vs/m$ en $c = 0.15Ns/m$
3. $K_e = 500Vs/m$ en $c = 0.15Ns/m$

Elke simulatie wordt uitgevoerd in een model waarin de dynamica van de elektrische spoel niet verwaarloosd wordt, het evaluatiemodel, alsook een model waarin de dynamica van de elektrische spoel wel verwaarloosd wordt, het ontwerpmodel.

K_c kan worden bekomen uit de evenwichtstoestand van de systeemvergelijking van de mechanische spoel volgens:

$$m\ddot{x} + c\dot{x} + kx = K_c i$$

Bij evenwicht geldt $\dot{x} = \ddot{x} = 0$ zodat

$$kx = K_c i$$

en dus

$$K_c = \frac{kx}{i}$$

Bij evenwicht krijgen we een klepstand van $x = 0,003$ bij een voltage van 6 V, dit geeft een stroom van $i = \frac{v}{R} = \frac{6V}{4\Omega} = 1,5A$, wat vervolgens resulteert in een K_c van:

$$K_c = \frac{kx}{i} = \frac{(0,2\frac{N}{m})(0,003m)}{1,5A} = 4 \cdot 10^{-4} \frac{N}{A}$$

1.3.1 Evaluatiemodel

Het evaluatiemodel is de toestandvorm bekomen zoals in sectie 1.2.1:

$$\begin{bmatrix} \dot{x}_1 \\ \dot{x}_2 \\ \dot{x}_3 \end{bmatrix} = \begin{bmatrix} 0 & 1 & 0 \\ -\frac{k}{m} & -\frac{c}{m} & \frac{K_c}{m} \\ 0 & -\frac{K_e}{L} & -\frac{R}{L} \end{bmatrix} \begin{bmatrix} x_1 \\ x_2 \\ x_3 \end{bmatrix} + \begin{bmatrix} 0 \\ 0 \\ \frac{1}{L} \end{bmatrix} v$$

$$y = \begin{bmatrix} 1 & 0 & 0 \\ \alpha & 0 & 0 \end{bmatrix} \begin{bmatrix} x_1 \\ x_2 \\ x_3 \end{bmatrix}$$

1.3.2 Ontwerpmodel

Om het ontwerpmodel te bepalen veronderstellen we dat de dynamica van de elektrische spoel verwaarloosd wordt of m.a.w. $\dot{i} = 0$. De toestanden worden dan gegeven door:

$$\begin{cases} x_1 = x \\ x_2 = \dot{x} \\ x_3 = \dot{i} = 0 \end{cases}$$

Uit het evaluatiemodel volgt met $\dot{x}_3 = \dot{i} = 0$:

$$0 = -\frac{K_e}{L} x_2 - \frac{R}{L} x_3 + \frac{1}{L} v$$

Oplossen naar x_3 geeft:

$$x_3 = -\frac{K_e}{R} x_2 + \frac{1}{R} v$$

Dit invullen in \dot{x}_2 geeft:

$$\begin{aligned}\dot{x}_2 &= -\frac{k}{m}x_1 - \frac{c}{m}x_2 + \frac{K_c}{m}x_3 \\ \dot{x}_2 &= -\frac{k}{m}x_1 - \frac{c}{m}x_2 + \frac{K_c}{m}\left(-\frac{K_e}{R}x_2 + \frac{1}{R}v\right) \\ \dot{x}_2 &= -\frac{k}{m}x_1 - \left(\frac{c}{m} + \frac{K_e K_c}{mR}\right)x_2 + \frac{K_c}{mR}v\end{aligned}$$

Hieruit volgt:

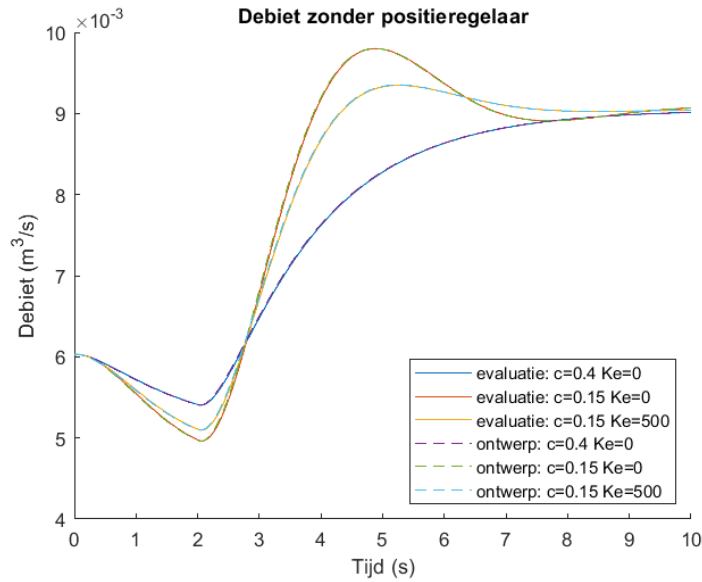
$$\begin{bmatrix} \dot{x}_1 \\ \dot{x}_2 \end{bmatrix} = \begin{bmatrix} 0 & 1 \\ -\frac{k}{m} & -\frac{K_e K_c}{mR} - \frac{c}{m} \end{bmatrix} \begin{bmatrix} x_1 \\ x_2 \end{bmatrix} + \begin{bmatrix} 0 \\ \frac{K_c}{mR} \end{bmatrix} v$$

1.3.3 Matlabsimulaties

Matlab simulaties werden uitgevoerd bij volgende parameterwaardes:

$$\begin{array}{llllll} C_d = 0.64 & d_{a1} = 0.05m & Ps = 200000Pa & \rho = 1000kg/m^3 & m = 0.125kg \\ k = 0.20N/m & L = 0.06H & R = 4\Omega & & & \end{array}$$

Na uitvoeren van de simulaties over de verschillende waarden van c en Ke werden volgende figuren verkregen:

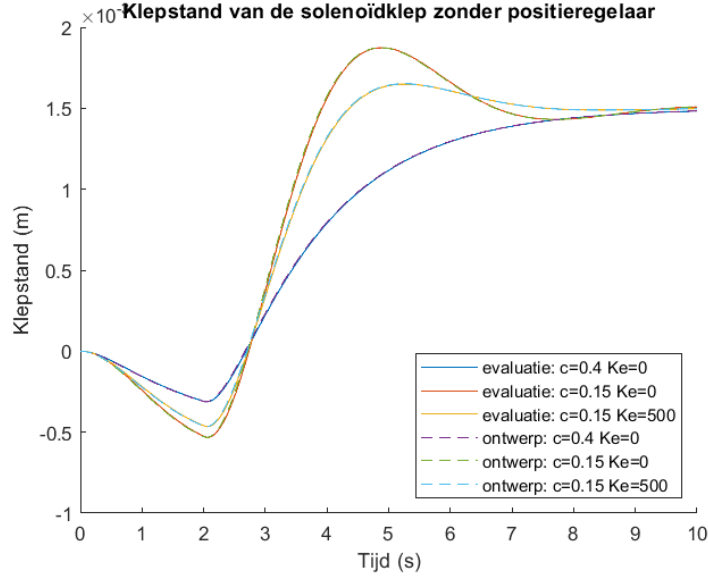


Figuur 1: Debiet [m^3/s] in functie van tijd [s] zonder positieregelaar

Er kan bemerkt worden dat de blauwe grafiek voor het evaluatiemodel als de paarse gestippelde grafiek bij $c = 0.4$ en $Ke = 0$ de grootste demping vertoont.

De rode grafiek voor het evaluatiemodel en de groen gestippelde voor het ontwerpmodel bij $c = 0.15$ en $Ke = 0$ vertonen daarentegen de sterkste overshoot.

De oranje grafiek voor het evaluatiemodel en de appelblauwzeegroene grafiek voor het ontwerpmodel bij $c = 0.15$ en $Ke = 0$ vertoont echter een sterkere demping als de rode grafiek voor het evaluatiemodel en de groen gestippelde voor het ontwerpmodel. Desondanks deze dezelfde dempingscoëfficiënt hebben. Dit is echter te wijten aan de hogere $Ke = 500$ waarde, namelijk de terugkoppeling van de elektromotorische kracht zal nog een extra demping induceren.



Figuur 2: Klepstand [m] in functie van tijd [s] zonder positieregelaar

1.4 Simuleren van debiet en klepstand met positieregeling

1.4.1 P-regelaar

1.4.1.1 P-regelaar evaluatiemodel

Voor een P-regelaar geldt:

$$v_{in} = K_{rc}(x_r - x)$$

$$x_1 = x$$

$$v_{in} = K_{rc}(x_r - x_1)$$

Dit invullen in de toestandsvergelijking van de solenoïdeklep afgeleid in sectie 1.2.1 waarbij $v = v_{in} + v_{ruis}$ geeft:

$$\begin{aligned} \begin{bmatrix} \dot{x}_1 \\ \dot{x}_2 \\ \dot{x}_3 \end{bmatrix} &= \begin{bmatrix} 0 & 1 & 0 \\ -\frac{k}{m} & -\frac{c}{m} & \frac{Kc}{mR} \\ 0 & -\frac{K_e}{L} & -\frac{R}{L} \end{bmatrix} \begin{bmatrix} x_1 \\ x_2 \\ x_3 \end{bmatrix} + \begin{bmatrix} 0 \\ 0 \\ \frac{1}{L} \end{bmatrix} (K_{rc}x_r - K_{rc}x_1 + v_{ruis}) \\ \begin{bmatrix} \dot{x}_1 \\ \dot{x}_2 \\ \dot{x}_3 \end{bmatrix} &= \begin{bmatrix} 0 & 1 & 0 \\ -\frac{k}{m} & -\frac{c}{m} & \frac{Kc}{mR} \\ 0 & -\frac{K_e}{L} & -\frac{R}{L} \end{bmatrix} \begin{bmatrix} x_1 \\ x_2 \\ x_3 \end{bmatrix} + \begin{bmatrix} 0 \\ 0 \\ \frac{K_{rc}x_r}{L} - \frac{K_{rc}x_1}{L} + \frac{v_{ruis}}{L} \end{bmatrix} \\ \begin{bmatrix} \dot{x}_1 \\ \dot{x}_2 \\ \dot{x}_3 \end{bmatrix} &= \begin{bmatrix} 0 & 1 & 0 \\ -\frac{k}{m} & -\frac{c}{m} & \frac{Kc}{mR} \\ -\frac{K_{rc}}{L} & -\frac{K_e}{L} & -\frac{R}{L} \end{bmatrix} \begin{bmatrix} x_1 \\ x_2 \\ x_3 \end{bmatrix} + \begin{bmatrix} 0 \\ 0 \\ \frac{K_{rc}x_r}{L} + \frac{v_{ruis}}{L} \end{bmatrix} \\ \begin{bmatrix} \dot{x}_1 \\ \dot{x}_2 \\ \dot{x}_3 \end{bmatrix} &= \begin{bmatrix} 0 & 1 & 0 \\ -\frac{k}{m} & -\frac{c}{m} & \frac{Kc}{mR} \\ -\frac{K_{rc}}{L} & -\frac{K_e}{L} & -\frac{R}{L} \end{bmatrix} \begin{bmatrix} x_1 \\ x_2 \\ x_3 \end{bmatrix} + \begin{bmatrix} 0 & 0 \\ 0 & 0 \\ \frac{K_{rc}}{L} & \frac{1}{L} \end{bmatrix} \begin{bmatrix} x_r \\ v_{ruis} \end{bmatrix} \end{aligned}$$

1.4.1.2 P-regelaar ontwerpmodel

Voor het ontwerpmodel is $\dot{x}_3 = 0$ zodat:

$$0 = -\frac{K_{rc}}{L}x_1 - \frac{K_e}{L}x_2 - \frac{R}{L}x_3 + \frac{K_{rc}}{L}x_r + \frac{1}{L}v_{ruis}$$

Oplossen naar x_3 geeft:

$$x_3 = -\frac{K_{rc}}{R}x_1 - \frac{K_e}{R}x_2 - \frac{K_{rc}}{R}x_r + \frac{1}{R}v_{ruis}$$

Invullen in \dot{x}_2 geeft:

$$\begin{aligned}x_2 &= -\frac{k}{m}x_1 - \frac{c}{m}x_2 + \frac{K_c}{m}\left(-\frac{K_{rc}}{R}x_1 - \frac{K_e}{R}x_2 + \frac{K_{rc}}{R}x_r + \frac{1}{R}v_{ruis}\right) \\ \dot{x}_2 &= -\left(\frac{k}{m} + \frac{K_{rc}K_c}{mR}\right)x_1 - \left(\frac{c}{m} + \frac{K_cK_e}{mR}\right)x_2 + \frac{K_cK_{rc}}{mR}x_r + \frac{K_c}{mR}v_{ruis}\end{aligned}$$

De toestandsvergelijking van het ontwerpmodel voor de P-regelaar wordt dan:

$$\begin{bmatrix} \dot{x}_1 \\ \dot{x}_2 \end{bmatrix} = \begin{bmatrix} 0 & 1 \\ -\left(\frac{k}{m} + \frac{K_{rc}K_c}{mR}\right) & -\left(\frac{c}{m} + \frac{K_cK_e}{mR}\right) \end{bmatrix} \begin{bmatrix} x_1 \\ x_2 \end{bmatrix} + \begin{bmatrix} 0 & 0 \\ \frac{K_cK_{rc}}{mR} & \frac{K_c}{mR} \end{bmatrix} \begin{bmatrix} x_r \\ v_{ruis} \end{bmatrix}$$

1.4.2 PI-regelaar

1.4.2.1 PI-regelaar evaluatiemodel

De transferfunctie wordt gegeven door:

$$G_{rc}(s) = K_{rc}\left(1 + \frac{1}{\tau_{ic}s}\right)$$

De PI-regelaar werkt als een integrator en brengt een nieuwe toestand in het systeem: v_{in} . De fasevorm van de PI-regelaar wordt beschreven als:

$$v_{in} = K_{rc}(x_r - x) + \frac{K_{rc}}{\tau_{ic}} \int_0^x (x_r - x) dx$$

De integraal uitwerken geeft:

$$v_{in} = K_{rc}\left(1 + \frac{1}{\tau_{ic}s}\right)(x_r - x)$$

en \dot{v}_{in} met $\dot{x}_r = 0$ wordt dan

$$\dot{v}_{in} = -K_{rc}\dot{x} + \frac{K_{rc}}{\tau_{ic}}x_r - \frac{K_{rc}}{\tau_{ic}}x$$

Voor het evaluatiemodel wordt v_{in} nu ook als een toestand beschouwd:

$$\begin{cases} x_1 = x \\ x_2 = \dot{x} \\ x_3 = i \\ x_4 = v_{in} \end{cases}$$

De vergelijkingen van v_{in} hierboven afgeleid, de mechanische klep en de elektrische spoel afgeleid in sectie 1.2.1:

$$\begin{cases} \ddot{x} = -\frac{k}{m}x - \frac{c}{m}\dot{x} + \frac{K_c}{m}i \\ \frac{di}{dt} = -\frac{K_e}{L}\dot{x} - \frac{R}{L}i + \frac{v}{L} \\ \dot{v}_{in} = -K_{rc}\dot{x} + \frac{K_{rc}}{\tau_{ic}}x_r - \frac{K_{rc}}{\tau_{ic}}x \end{cases}$$

Met bovenstaande toestanden en met $v = v_{in} + v_{ruis}$ ingevuld geeft dit:

$$\begin{cases} \dot{x}_2 = -\frac{k}{m}x_1 - \frac{c}{m}x_2 + \frac{K_c}{m}x_3 \\ \dot{x}_3 = -\frac{K_e}{L}x_2 - \frac{R}{L}x_3 + \frac{v_{in}+v_{ruis}}{L} \\ \dot{x}_4 = -K_{rc}x_2 + \frac{K_{rc}}{\tau_{ic}}x_r - \frac{K_{rc}}{\tau_{ic}}x_1 \end{cases}$$

De toestandsvergelijking in matrixvorm wordt dan uiteindelijk:

$$\begin{bmatrix} \dot{x}_1 \\ \dot{x}_2 \\ \dot{x}_3 \\ \dot{x}_4 \end{bmatrix} = \begin{bmatrix} 0 & 1 & 0 & 0 \\ -\frac{k}{m} & -\frac{c}{m} & \frac{K_c}{m} & 0 \\ 0 & -\frac{K_e}{L} & -\frac{R}{L} & \frac{1}{L} \\ -\frac{K_{rc}}{\tau_{ic}} & -K_{rc} & 0 & 0 \end{bmatrix} \begin{bmatrix} x_1 \\ x_2 \\ x_3 \\ x_4 \end{bmatrix} + \begin{bmatrix} 0 & 0 \\ 0 & 0 \\ 0 & \frac{1}{L} \\ \frac{K_{rc}}{\tau_{ic}} & 0 \end{bmatrix} \begin{bmatrix} x_r \\ v_{ruis} \end{bmatrix}$$

1.4.2.2 PI-regelaar ontwerpmodel

Voor het ontwerpmodel geldt dat $\dot{x}_3 = \dot{i} = 0$ zodat:

$$\dot{x}_3 = -\frac{K_e}{L}x_2 - \frac{R}{L}x_3 + \frac{v}{L} = 0$$

Oplossen naar x_3 geeft dan:

$$x_3 = -\frac{K_e}{R}x_2 + \frac{v_{in} + v_{ruis}}{R}$$

Invullen in \dot{x}_2 en herschrijven geeft:

$$\begin{aligned} \dot{x}_2 &= -\frac{k}{m}x_1 - \frac{c}{m}x_2 + \frac{K_c}{m}\left(-\frac{K_e}{R}x_2 + \frac{v_{in} + v_{ruis}}{R}\right) \\ \Leftrightarrow \dot{x}_2 &= -\frac{k}{m}x_1 - \left(\frac{c}{m} + \frac{K_c K_e}{mR}\right)x_2 + \frac{K_c}{m} \frac{v_{in} + v_{ruis}}{R} \end{aligned}$$

De toestandsvergelijking wordt dan:

$$\begin{bmatrix} \dot{x}_1 \\ \dot{x}_2 \\ \dot{x}_3 \end{bmatrix} = \begin{bmatrix} 0 & 1 & 0 \\ -\frac{k}{m} & -\frac{K_c K_e}{mR} - \frac{c}{m} & \frac{K_c}{mR} \\ -\frac{K_{rc}}{\tau_{ic}} & -K_{rc} & 0 \end{bmatrix} \begin{bmatrix} x_1 \\ x_2 \\ x_3 \end{bmatrix} + \begin{bmatrix} 0 & 0 \\ 0 & \frac{K_c}{mR} \\ \frac{K_{rc}}{\tau_{ic}} & 0 \end{bmatrix} \begin{bmatrix} x_r \\ v_{ruis} \end{bmatrix}$$

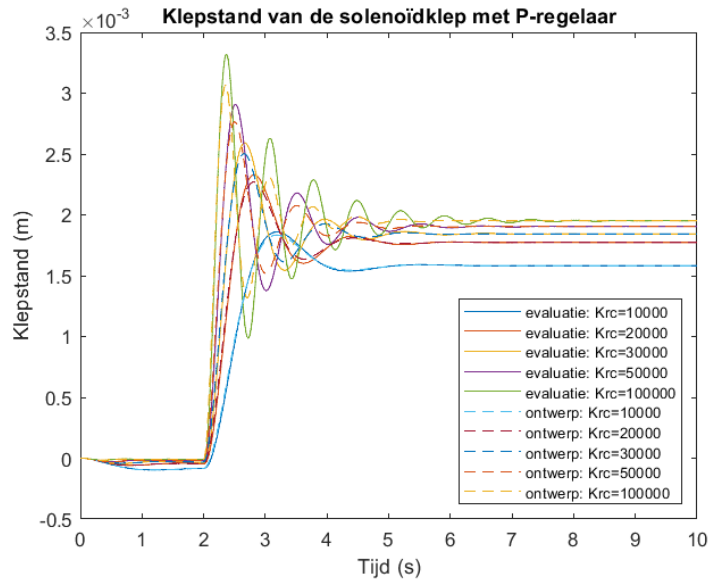
1.4.3 matlabsimulatie P-regelaar

Het verloop van de klepstand werd gesimuleerd met een P-regelaar bij volgende parameterwaarden:

$$x = 0,002 \text{ m} \quad c = 0,4 \text{ N s/m} \quad K_e = 0 \text{ V s/m}$$

Na 2 seconden werd een stap aangelegd en de simulaties werden uitgevoerd voor volgende K_{rc} waarden:

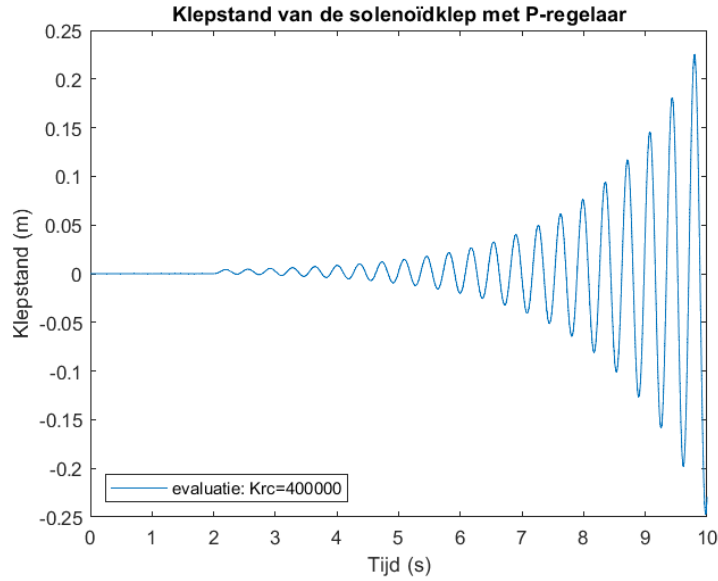
$$10 \text{ kV/m} \quad 20 \text{ kV/m} \quad 30 \text{ kV/m} \quad 50 \text{ kV/m} \quad 100 \text{ kV/m} \quad 400 \text{ kV/m}$$



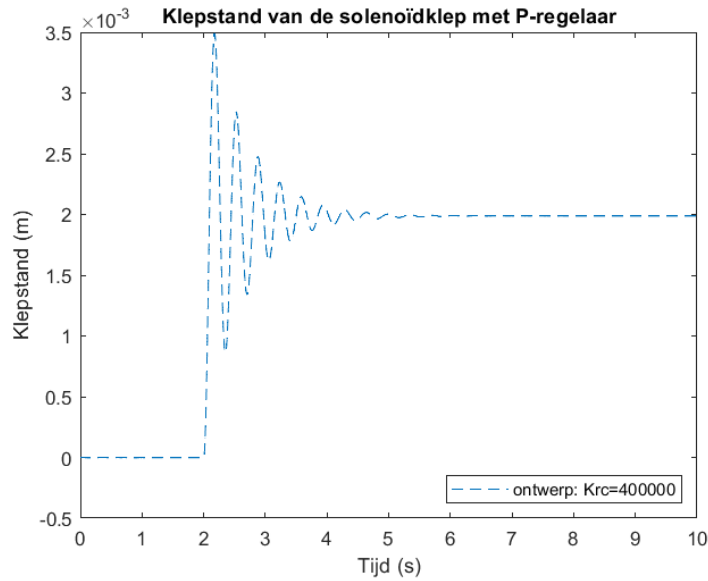
Figuur 3: Klepstand [m] in functie van tijd [s] met P-regelaar voor de verschillende K_{rc} waarden

Er kan bemerkt worden dat bij een $K_{rc} = 400 \text{ kV/m}$ het evaluatie-model onstabiel wordt, terwijl het ontwerp model nog wel stabiel is en naar de gewenste klepstand van $x = 0,002$ zal evolueren. Dit komt omdat het ontwerp-model model een pool mist (2 polen ipv 3). Het ontwerp-model is dus een benadering en bij verhoging van de dynamica (toename K_{rc}) zal dit leiden tot fouten. Hoe sterker K_{rc} wordt opgedreven, hoe groter de overshoot zal worden, met meer oscillaties

als gevolg. Zo zal bij een $K_{rc} = 10 \text{ kV/m}$ de output van het evaluatiemodel (blauwe volle lijn) snel naar zijn evenwichtshoogte evolueren, terwijl bij een $K_{rc} = 100 \text{ kV/m}$ de output een uitdempend sinusoidaal gedrag vertoont op de stapingang als input. Desondanks deze tragere respons bij hogere K_{rc} waarden, zal de output wel de gewenste klepstand van $x = 0,002$ bereiken. Dit is niet altijd het geval voor de lagere K_{rc} waarden.



Figuur 4: Klepstand $[m]$ in functie van tijd $[s]$ met P-regelaar bij $K_{rc} = 400 \text{ kV/m}$ evaluatiemodel

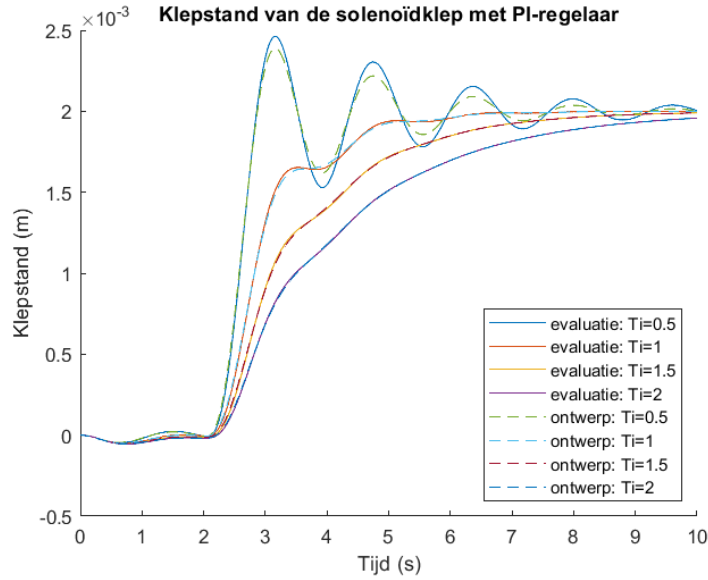


Figuur 5: Klepstand $[m]$ in functie van tijd $[s]$ met P-regelaar bij $K_{rc} = 400 \text{ kV/m}$ ontwerpmodel

1.4.4 matlabsimulatie PI-regelaar

Het verloop van de klepstand werd gesimuleerd met een PI-regelaar bij volgende parameterwaarden:

$$K_{rc} = 20 \text{ kV/m} \quad \tau_{ic} = 0,5 \text{ s} \quad \tau_{ic} = 1 \text{ s} \quad \tau_{ic} = 1,5 \text{ s} \quad \tau_{ic} = 2 \text{ s}$$



Figuur 6: Klepstand $[m]$ in functie van tijd $[s]$ met PI-regelaar bij verschillende τ_{ic}

1.5 Vergelijking van de polen

Tabel 1: Polen zonder regelaar voor Evaluatiemodel en het ontwerpmodel

$K_e [Vs/m]$	$c [Ns/m]$	Evaluatiemodel	Ontwerpmodel
0	0	-0,6202;-2,5798;-66,6667	-0,6202;-2,5798
0	0,15	-0,6000+1,1136i;-0,6000-1,1136i;-66,6667	-0,6000+1,1136i;-0,6000-1,1136i
500	0,15	-0,8049+0,9809i;-0,8049-0,9809i;-66,2549	-0,8000+0,9798i;-0,8000-0,9798i

Tabel 2: Polen van P-regelaar voor evaluatiemodel en het ontwerpmodel

$K_{rc} [V/m]$	Evaluatiemodel	Ontwerpmodel
10000	-66,7922;-1,5372+2,6868i;-1,5372-2,6868i	-1,6000+2,6533i;-1,6000-2,6533i
20000	-66,7922;-1,4750+3,9190i;-1,4750-3,9190i	-1,6000+3,8781i;-1,6000-3,8781i
30000	-67,0404;-1,4131+4,8436i;-1,4131-4,8436i	-1,6000+4,8000i;-1,6000-4,8000i
50000	-67,2849;-1,2909+6,2890i;-1,2909-6,2890i	-1,6000+6,2482i;-1,6000-6,2482i
100000	-67,8809;-0,9929+8,8969i;-0,9929-8,8969i	-1,6000+8,8904i;-1,6000-8,8904i
400000	-71,0859;0,6096+17,3561i;0,6096-17,3561i	-1,6000+17,8616i;-1,6000-17,861i

Tabel 3: Polen van PI-regelaar voor evaluatiemodel en het ontwerpmodel

$K_{rc} [V/m]$	$\tau [s]$	Evaluatiemodel	Ontwerpmodel
20000	0,5	-66,9093;-0,4332+3,8808i;-0,4332-3,8808i;-2,0910	-2,0937;-0,5531+3,8701i;-0,5531-3,8701i
20000	1	-66,9130;-0,9561+3,7936i;-0,9561-3,7936i;-1,0415	-1,0423;-1,0789+3,7666i;-1,0789-3,7666i
20000	1,5	-66,9143;-1,1409+3,8137i;-1,1409-3,8137i;-0,6707	-0,6707;-1,2646+3,7821i;-1,2646-3,7821i
20000	2	-66,9149;-1,2300+3,8331i;-1,2300-3,8331i;-0,4918	-0,4918;-1,3541+3,7993i;-1,3541-3,7993i

1.6 Voordelen van terugkoppeling

1.6.1 Eerste voordeel van terugkoppeling

Systeemfouten (statistische fouten) door stationaire (constante) verstoringen kunnen worden gereduceerd (=stoornisdrukking) door terugkoppeling t.o.v. een openkring systeem met een factor $1 + AK_{rc}$, waarbij AK_{rc} de kringversterking voorstelt voor $s=0$.

1.7 Tweede voordeel van terugkoppeling

In een gesloten-kringsysteem is de statische versterking ($s=0$) veel minder gevoelig voor variaties in de versterking A aan het fysisch systeem dan in een open-kring systeem. Deze gevoeligheid neemt af met een factor $1 + AKrc$, wat betekent dat bij een zeer grote statische versterking Krc van de regelaar de gevoeligheid van de variaties in de parameter A nadert tot 0.

1.7.1 Opmerking

Bij toename van Krc neemt τ_c af. of m.a.w. het gesloten-kring systeem krijgt door de regelaar (in terugkoppeling) een snellere dynamica. Wanneer $Krc \rightarrow \infty$ wordt $\tau_c = 0$. Dit betekent dat het gesloten kringsysteem ∞ wordt. Dit kan echter niet omdat het technisch niet haalbaar is en omdat tweede en hogere orde systemen instabiel worden bij zeer hoge Krc waarden.

2 Analyse van regelsystemen in het complexe s-vlak

2.1 Het Routh-Hurwitz criterium

Het Routh-Hurwitz stabiliteitscriterium is een mathematische test die zorgt voor een nodige en voldoende voorwaarde om de stabiliteit van een lineair tijdsonafhankelijk systeem te bepalen.

Bij een stabiel systeem liggen alle polen van de transferfunctie van het systeem in het linker s-vlak. Indien minstens één pool zich niet in het linker s-vlak bevindt, is het systeem onstabiel. Door de karakteristieke vergelijking van een systeem op te lossen, kunnen de polen van dit systeem gevonden worden. Voor een eerste of tweedegraadsvergelijking valt dit met de hand te berekenen, maar vanaf vergelijking van de derde graad wordt de karakteristieke vergelijking complexer. Het Routh-Hurwitz criterium is een manier om de stabiliteit van een systeem te bepalen zonder de polen met behulp van de karakteristieke vergelijking uit te rekenen. Maar ook de relative stabiliteit van het systeem, de range K voor stabiliteit, alsook de snijpunten van de poolbaan met de imaginaire as kunnen bepaald worden.

1. Nodige maar niet voldoende voorwaarde voor stabiliteit: Indien we een systeem beschouwen met als karakteristieke vergelijking:

$$a_0 s^m + a_1 s^{m-1} + a_2 s^{m-2} + \dots + a_{m-1} s + a_m = 0$$

Dan moeten alle coëfficiënten van dit systeem (a_0, a_1, \dots, a_m) hetzelfde teken en mag er geen enkele ontbrekende term zijn. Indien minstens één van deze twee voorwaarden niet voldaan is, is het systeem onstabiel.

2. Voldoende voorwaarde: Zelfs als er geen ontbrekende termen zijn en alle coëfficiënten hetzelfde teken hebben, is dit niet voldoende om aan de voorwaarden van 1 te voldoen. Daarom wordt gebruikt gemaakt van het Routh-Hurwitz stabiliteitscriterium. Hierbij is de eerste stap het opstellen van een Routh-Hurwitz tabel. Voor een m-de orde systeem heeft de tabel m+1 rijen en de volgende structuur:

Tabel 4: Routh-Hurwitz tabel

	k_1	k_2	k_3	...
s^m	a_0	a_2	a_4	...
s^{m-1}	a_1	a_3	a_5	...
s^{m-2}	b_1	b_3	b_5	...
s^{m-3}	c_1	c_3	c_5	...
\vdots				
s	y_1			
s^0	z_0			

Met:

$$b_1 = -\frac{1}{a_1} \begin{vmatrix} a_0 & a_2 \\ a_1 & a_3 \end{vmatrix} = -\frac{a_0 a_3 - a_1 a_2}{a_1}$$

$$b_3 = -\frac{1}{a_1} \begin{vmatrix} a_0 & a_4 \\ a_1 & a_5 \end{vmatrix} = -\frac{a_0 a_5 - a_1 a_4}{a_1}$$

$$b_5 = -\frac{1}{a_1} \begin{vmatrix} a_0 & a_6 \\ a_1 & a_7 \end{vmatrix} = -\frac{a_0 a_7 - a_1 a_6}{a_1}$$

en met:

$$c_1 = -\frac{1}{b_1} \begin{vmatrix} a_1 & a_3 \\ b_1 & b_3 \end{vmatrix} = -\frac{a_1 b_3 - b_1 a_3}{b_1}$$

$$c_3 = -\frac{1}{b_1} \begin{vmatrix} a_1 & a_5 \\ b_1 & b_5 \end{vmatrix} = -\frac{a_1 b_5 - b_1 a_5}{b_1}$$

$$c_5 = -\frac{1}{b_1} \begin{vmatrix} a_1 & a_7 \\ b_1 & b_7 \end{vmatrix} = -\frac{a_1 b_7 - b_1 a_7}{b_1}$$

Vervolgens wordt er gekeken naar de verandering van het teken in de eerste kolom van de Routh-Hurwitz tabel. Een verandering van teken komt overeen met één wortel van de karakteristieke

vergelijking (pool van de TF) in het rechter half s-vlak. Stabiliteit wordt bijgevolg gegarandeerd wanneer alle elementen van de eerste kolom van de Routh-Hurwitz tabel positief of negatief zijn (geen verandering van teken).

2.2 Poolbaananalyse

2.2.1 De poolbaanprocedure toepassen

De wortels van de karakteristieke vergelijking van een transferfunctie verschaffen belangrijk inzicht in de stabiliteit en de responsie en daarmee dus ook de performantie van een systeem. Het grafisch uitzetten van de wortels van de karakteristieke vergelijking als functie van een parameter K in het s-vlak kan systematisch worden uitgevoerd in 12 stappen. De $G(s)$ stelt daarbij de openkring transferfunctie voor met m open-kring nulpunten en n open kring polen, terwijl $G_t(s)$ de corresponderende gesloten-kring transferfunctie is met zijn gesloten-kring nulpunten en gesloten-kring polen.

De 12 opeenvolgende stappen met bijhorende regels worden hieronder beschreven:

Stap 1: Schrijf de karakteristieke vergelijking onder de vorm:

$$1 + KG(s) = 0$$

Stap 2: Ontbind $G(s)$ in factoren en schrijf de veelterm $G(s)$ als volgt:

$$1 + K \frac{\prod_{i=1}^m (s - z_i)}{\prod_{j=1}^n (s - p_j)} = 0$$

Stap 3: Zet de polen en nulpunten van $G(s)$ uit in het s-vlak, gebruik een cirkeltje o voor de nulpunten en een kruisje x voor de polen.

Stap 4: Bepaal het aantal afzonderlijke takken van de poolbaan. Regel 1 zegt dat de poolbaan evenveel takken als polen n heeft. Het zijn continue krommen die ieder starten op één van de n polen van $G(s)$ voor $K = 0$. Deze worden de beginpunten genoemd. Voor K nadert tot ∞ , naderen m van n takken ieder één nulpunt van de m nulpunten van $G(s)$. De overige $n - m$ takken lopen asymptotisch naar ∞ , ver van de oorsprong, indien de K nadert tot ∞ . We spreken hier van m eindige eindpunten en $n - m$ eindpunten op oneindig.

Stap 5: Bepaal de segmenten van de poolbaan op de reële as. Een (complex) getal s behoort tot de poolbaan indien $\arg(G(s)) = \pm(2k + 1)180^\circ$. Dit geldt ook voor punten op de reële as. Regel 2 zegt dat een punt s op de reële as enkel tot een segment van de poolbaan op de reële as kan behoren indien het totaal aantal reële polen en nulpunten van G_s , rechts gelegen van s oneven is. Enkel bij een oneven aantal reële polen en nulpunten, rechts van s is er namelijk voldaan aan het hoekcriterium.

Stap 6: Zorg ervoor dat de poolbaan symmetrisch is t.o.v. de horizontale of reële as.

Stap 7: Bepaal de vertrekhoek of starthoek en de aankomsthoek van iedere tak van de poolbaan. Volgens regel 3 geldt dat:

Voor $K \rightarrow 0^+$, kan de vertrekhoek voor iedere pool van $G(s)$ op $s = p_k$ berekend worden als:

$$\vartheta_{p_k}^{p_k} = \sum_{i=1}^m \vartheta_{z_i}^{p_k} - \sum_{j=1, j \neq k}^n \vartheta_{p_j}^{p_k} \mp (2k + 1)180^\circ$$

Voor $K \rightarrow +\infty$ kan de aankomsthoek voor ieder nulpunt van $G(s)$ op $s = z_k$ berekend worden als:

$$\vartheta_{z_k}^{z_k} = - \sum_{i=1, i \neq k}^m \vartheta_{z_i}^{z_k} + \sum_{j=1}^n \vartheta_{p_j}^{z_k} \pm (2k + 1)180^\circ$$

Stap 8: Bepaal het snijpunt van de asymptoten van de poolbaan met de reële as, i.e. de intercept σ_c en de hoek die zij maken met de reële as, i.e. de asymptotohoeken θ_a . Regel 4 zegt dat voor $K \rightarrow \infty$, eindigen m wortels van de karakteristieke vergelijking $\Delta(s)$ op de m open-kring systeemnulpunten terwijl ieder van de overige $(n - m)$ wortels van $\Delta(s)$ ligt op ∞ telkens op één van de $(n - m)$ asymptoten die allen starten in de intersect σ_c op de reële as en ieder een

asymptotoothoek ϑ_a vormen met de reële as.

Intersect σ_c wordt gegeven door:

$$\sigma_c = -\frac{\sum_{i=1}^m z_i - \sum_{j=1}^n p_j}{n - m}$$

En de n-m asymptotoothoeken worden gegeven door:

$$\vartheta_a = \frac{2k+1}{n-m} 180^\circ \quad \text{met } k = 0, 1, 2, \dots, n-m-1$$

Stap 9: Bepaal de meervoudige wortels \hat{s} op de poolbaan. Regel 5 zegt dat indien \hat{s} een meervoudige wortel (of pool) is van het gesloten-kring systeem dan geldt:

$$N(\hat{s})T'(\hat{s}) - N'(\hat{s})T(\hat{s}) = 0$$

Stap 10: Indien de poolbaan de imaginaire as snijdt, bepaal deze snijpunten. De punten waar de poolbaan de imaginaire as snijdt kunnen éénvoudig worden berekend m.b.v. het Routh-Hurwitz criterium dat we kunnen terugvinden in alle elementaire handboeken over regeltechniek.

Stap 11: Bepaal de locatie van de wortels $s_\alpha (\alpha = 1, 2, \dots, \alpha_p)$ op de poolbaan horend bij een versterking K_α door gebruik te maken van het fasecriterium:

$$\angle K_\alpha G(s_\alpha) = \pm(2k+1)180^\circ$$

Stap 12: Bepaal de parameterwaarde K_β horend bij de wortel s_β door gebruik te maken van de magnitudevereiste:

$$K_\beta = \left| \frac{\prod_{j=1}^n (s_\beta - p_j)}{\prod_{i=1}^m (s_\beta - z_i)} \right|$$

2.2.1.1 Transferfunctie 1

$$KG(s) = \frac{K(s+1)}{s^4 + 4s^3 + 6s^2 + 4s}$$

1. Karakteristieke vergelijking herschrijven als:

$$1 + KG(s) = 1 + \frac{K(s+1)}{s^4 + 4s^3 + 6s^2 + 4s} = 0$$

2. De teller en noemer ontbinden in factoren geeft:

$$1 + KG(s) = 1 + \frac{K(s+1)}{s(s+2)(s+1 \pm j)}$$

3. In dit geval is er één nulpunt, namelijk $z_1 = -1$ en zijn er vier polen: $p_1 = 0$; $p_2 = -2$; $p_3 = -1 - j$; $p_4 = -1 + j$.

4. In dit geval zijn er dus vier takken, waarvan één tak als eindpunt het nulpunt -1 zal hebben. De andere drie lopen asymptotisch naar ∞ . Er is dus één eindig eindpunt en er zijn 3 eindpunten op oneindig.

5. Figuur 7 maakt duidelijk dat alle punten < 0 en > -1 op de reële as behoren tot de poolbaan omdat aan het hoekcriterium is voldaan aangezien ze een oneven aantal polen (1) rechts van hun hebben. Dit geldt ook voor alle punten links van p_2 , op die punten liggen 3 polen rechts van hen. En dus alle s die behoren tot de onderstaande intervallen maken deel uit van een segment van de poolbaan op de reële as:

$$[-\infty, -2], [-1, 0]$$

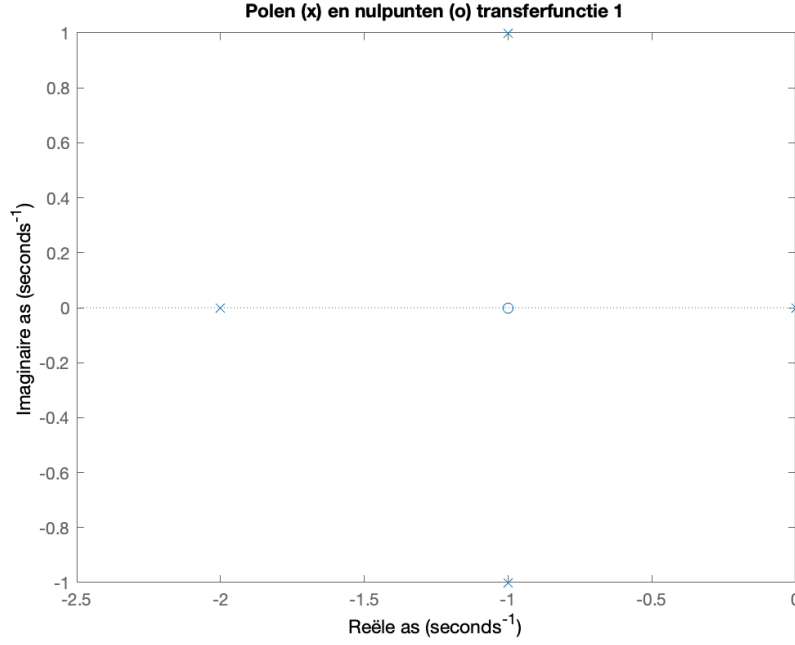
6. De poolbaan is symmetrisch t.o.v. de horizontale of reële as.

7. Aan de hand van regel 3 bepalen we de vertrekhoek en aankomsthoek van iedere tak van de poolbaan.

De vertrekhoek van pool $p_1 = 0$:

$$\vartheta_{p_1}^{p_1} = \vartheta_{z_1}^{p_1} - \vartheta_{p_2}^{p_1} - \vartheta_{p_3}^{p_1} - \vartheta_{p_4}^{p_1} \mp (2k+1)180^\circ$$

$$\iff \vartheta_{p_1}^{p_1} = \arg(p_1 - z_1) - \arg(p_1 - p_2) - \arg(p_1 - p_3) - \arg(p_1 - p_4) \mp (2k+1)180^\circ$$



Figuur 7: Polen (x) en nulpunten (o) van transferfunctie 1

$$\begin{aligned}
 \Leftrightarrow \vartheta_{p_1}^{p_1} &= \arg(0 - (-1)) - \arg(0 - (-2)) - \arg(0 - (-1 - i)) - \arg(0 - (-1 + i)) \mp (2k + 1)180^\circ \\
 \Leftrightarrow \vartheta_{p_1}^{p_1} &= \arg(1) - \arg(2) - \arg(1 + i) - \arg(1 - i) \mp (2k + 1)180^\circ \\
 \Leftrightarrow \vartheta_{p_1}^{p_1} &= 0^\circ - 0^\circ - 45^\circ - (-45^\circ) \mp (2k + 1)180^\circ \\
 \Leftrightarrow \vartheta_{p_1}^{p_1} &= 180^\circ
 \end{aligned}$$

De vertrekhoek van pool $p_2 = -2$:

$$\begin{aligned}
 \vartheta_{p_2}^{p_2} &= \vartheta_{z_1}^{p_2} - \vartheta_{p_1}^{p_2} - \vartheta_{p_3}^{p_2} - \vartheta_{p_4}^{p_2} \mp (2k + 1)180^\circ \\
 \Leftrightarrow \vartheta_{p_2}^{p_2} &= \arg(p_2 - z_1) - \arg(p_2 - p_1) - \arg(p_2 - p_3) - \arg(p_2 - p_4) \mp (2k + 1)180^\circ \\
 \Leftrightarrow \vartheta_{p_2}^{p_2} &= \arg(-2 - (-1)) - \arg(-2 - 0) - \arg(-2 - (-1 - i)) - \arg(-2 - (-1 + i)) \mp (2k + 1)180^\circ \\
 \Leftrightarrow \vartheta_{p_2}^{p_2} &= \arg(-1) - \arg(-2) - \arg(-1 + i) - \arg(-1 - i) \mp (2k + 1)180^\circ \\
 \Leftrightarrow \vartheta_{p_2}^{p_2} &= -360^\circ \mp (2k + 1)180^\circ \\
 \Leftrightarrow \vartheta_{p_2}^{p_2} &= 180^\circ
 \end{aligned}$$

De vertrekhoek van pool $p_3 = -1 - j$:

$$\begin{aligned}
 \vartheta_{p_3}^{p_3} &= \vartheta_{z_1}^{p_3} - \vartheta_{p_1}^{p_3} - \vartheta_{p_2}^{p_3} - \vartheta_{p_4}^{p_3} \mp (2k + 1)180^\circ \\
 \Leftrightarrow \vartheta_{p_3}^{p_3} &= \arg(p_3 - z_1) - \arg(p_3 - p_1) - \arg(p_3 - p_2) - \arg(p_3 - p_4) \mp (2k + 1)180^\circ \\
 \Leftrightarrow \vartheta_{p_3}^{p_3} &= \arg(-1 - i - (-1)) - \arg(-1 - i - 0) - \arg(-1 - i - (-2)) - \arg(-1 - i - (-1 + i)) \mp (2k + 1)180^\circ \\
 \Leftrightarrow \vartheta_{p_3}^{p_3} &= -90^\circ - 225^\circ - 315^\circ - 270^\circ \mp (2k + 1)180^\circ \\
 \Leftrightarrow \vartheta_{p_3}^{p_3} &= -900^\circ \mp (2k + 1)180^\circ \\
 \Leftrightarrow \vartheta_{p_3}^{p_3} &= 0^\circ
 \end{aligned}$$

De vertrekhoek van pool $p_4 = -1 + j$:

$$\begin{aligned}
 \vartheta_{p_4}^{p_4} &= \vartheta_{z_1}^{p_4} - \vartheta_{p_1}^{p_4} - \vartheta_{p_2}^{p_4} - \vartheta_{p_3}^{p_4} \mp (2k + 1)180^\circ \\
 \Leftrightarrow \vartheta_{p_4}^{p_4} &= \arg(p_4 - z_1) - \arg(p_4 - p_1) - \arg(p_4 - p_2) - \arg(p_4 - p_3) \mp (2k + 1)180^\circ \\
 \Leftrightarrow \vartheta_{p_4}^{p_4} &= \arg(-1 + i - (-1)) - \arg(-1 + i - 0) - \arg(-1 + i - (-2)) - \arg(-1 + i - (-1 - i)) \mp (2k + 1)180^\circ
 \end{aligned}$$

$$\begin{aligned}
\iff \vartheta_{p_4}^{p_4} &= \arg(i) - \arg(-1+i) - \arg(1+i) - \arg(i+i) \mp (2k+1)180^\circ \\
\iff \vartheta_{p_4}^{p_4} &= 90^\circ - 135^\circ - 45^\circ - 90^\circ \mp (2k+1)180^\circ \\
\iff \vartheta_{p_4}^{p_4} &= -180^\circ \mp (2k+1)180^\circ \\
\iff \vartheta_{p_4}^{p_4} &= 0^\circ
\end{aligned}$$

De aankomsthoek van nulpunt $z_1 = -1$:

$$\begin{aligned}
\vartheta_{z_1}^{z_1} &= \vartheta_{p_1}^{z_1} + \vartheta_{p_2}^{z_1} + \vartheta_{p_3}^{z_1} + \vartheta_{p_4}^{z_1} \pm (2k+1)180^\circ \\
\iff \vartheta_{z_1}^{z_1} &= \arg(z_1 - p_1) + \arg(z_1 - p_2) + \arg(z_1 - p_3) + \arg(z_1 - p_4) \pm (2k+1)180^\circ \\
\iff \vartheta_{z_1}^{z_1} &= \arg(-1-0) + \arg(-1-(-2)) + \arg(-1-(-1-j)) + \arg(-1-(-1+j)) \pm (2k+1)180^\circ \\
\iff \vartheta_{z_1}^{z_1} &= -180^\circ + 0^\circ + 90^\circ - 90^\circ \pm (2k+1)180^\circ \\
\iff \vartheta_{z_1}^{z_1} &= 0^\circ
\end{aligned}$$

8. Het intercept σ_c wordt gegeven door:

$$\begin{aligned}
\sigma_c &= -\frac{\sum_{i=1}^m z_i - \sum_{j=1}^n p_j}{n-m} \\
\sigma_c &= -\frac{-1 - (0 - 2 - 1 - j - 1 + j)}{4-1} = -1
\end{aligned}$$

De asymptotoothoeken zijn de volgende:

$$\begin{aligned}
k=0: \quad \vartheta_0 &= \frac{1 * 180}{4-1} = 60^\circ \\
k=1: \quad \vartheta_1 &= \frac{2 + 1 * 180}{4-1} = 180^\circ \\
k=2: \quad \vartheta_2 &= \frac{4 + 1 * 180}{4-1} = 300^\circ
\end{aligned}$$

9. \hat{s} is een meervoudige wortel (of pool) van het gesloten-kring systeem indien (nodige maar geen voldoende voorwaarde):

$$\begin{aligned}
N(\hat{s})T'(\hat{s}) - N'(\hat{s})T(\hat{s}) &= 0 \\
-3\hat{s}^4 - 12\hat{s}^3 - 18\hat{s}^2 - 12\hat{s} - 4 &= 0
\end{aligned}$$

Voor:

$$\hat{s} = -1 : -3 + 12 - 18 + 12 - 4 = -1$$

Hieruit kunnen we afleiden dat er geen meervoudige polen gevonden zijn.

10. Snijpunten bepalen van poolbaan imaginaire as m.b.v het Routh-Hurwitz criterium eerder besproken:

Tabel 5: Routh-Hurwitz transferfunctie 1

	k_1	k_2	k_3
s^4	1	6	K
s^3	4	$4+K$	0
s^2	$\frac{20-K}{4}$	K	0
s^1	$\frac{80-K^2}{2-K}$	0	0
s^0	0	0	0

De elementen in de eerste kolom moeten hetzelfde teken hebben, in dit geval dus positief aangezien 1 en 4 al positieve getallen zijn. Als K kleiner is dan 20, dan is $b_1 > 0$. Voor $c_1 > 0$ moet K kleiner zijn dan $\sqrt{80} = 8.94$.

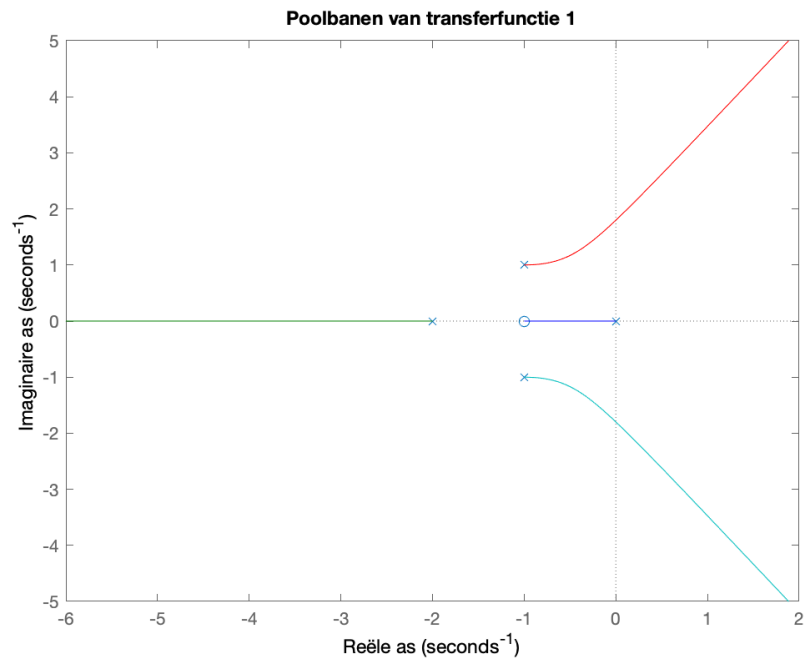
De snijpunten met de imaginaire as worden dan gevonden door de volgende hulppolynoom op te lossen met $K = 4\sqrt{5}$:

$$\left(5 - \frac{K}{4}\right)s^2 + K = 0$$

$$(5 - \sqrt{5})s^2 + 4\sqrt{5} = 0$$

$$s = \pm 1.799j$$

De poolbaan gevonden in bovenstaande stappen in te zien in figuur 8



Figuur 8: Poolbaan van transferfunctie 1

2.2.1.2 Transferfunctie 2

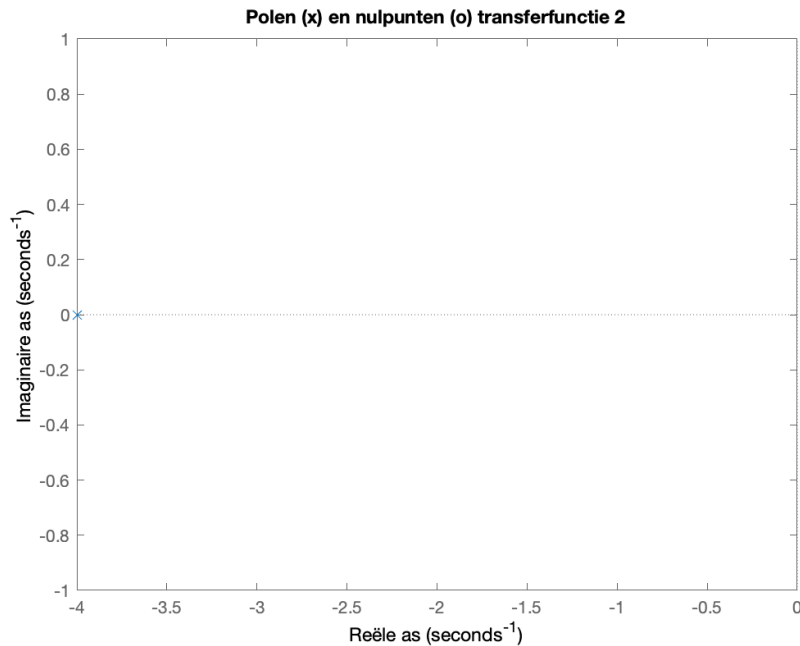
$$KG(s) = \frac{K}{s+4}$$

1. Karakteristieke vergelijking herschrijven als:

$$1 + KG(s) = 1 + \frac{K}{s+4} = 0$$

2. De teller T(s) en noemer N(s) van G(s) zijn al ontbonden in factoren.

3. Er is dus geen nulpunt en één pool: $p_1 = -4$.



Figuur 9: Polen (x) en nulpunten (o) van transferfunctie 2

4. In dit geval is er één tak. Deze loopt asymptotisch naar ∞ . Er is dus geen eindig eindpunt en er is één eindpunt op oneindig.

5. Op figuur 9 is te zien dat alle punten links van p_1 één pool rechts van zich hebben en dat dus voor alle punten $\subset [-\infty, 4]$ voldaan is aan het hoekcriterium.

6. De poolbaan is symmetrisch t.o.v. de horizontale of reële as.

7. Aan de hand van regel 3 bepalen we één vertrekhoek van de poolbaan (er is geen aankomsthoek). De vertrekhoek van pool $p_1 = -4$:

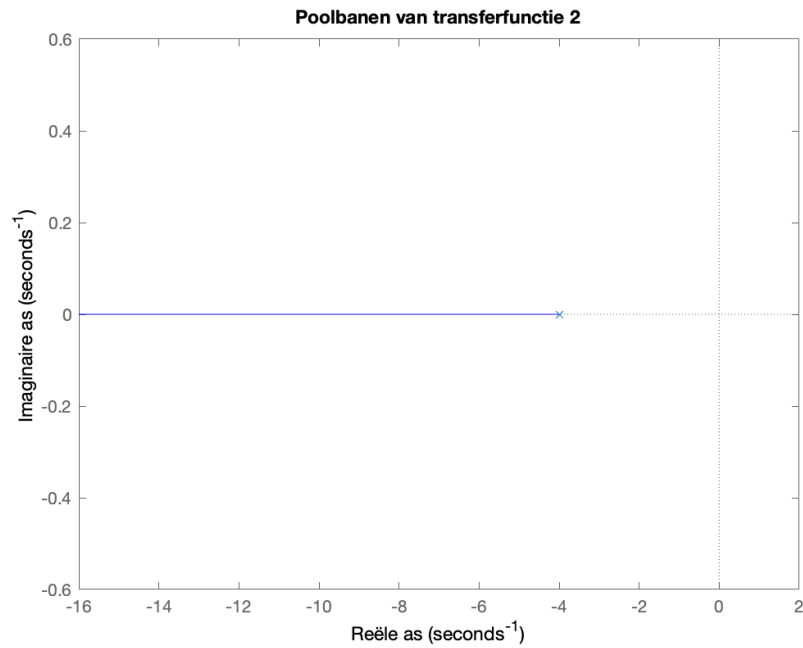
$$\begin{aligned} \vartheta_{p_1}^{p_1} &= \mp(2k+1)180^\circ \\ \iff \vartheta_{p_1}^{p_1} &= 180^\circ \end{aligned}$$

8. Het intercept σ_c wordt gegeven door:

$$\begin{aligned} \sigma_c &= -\frac{\sum_{i=1}^m z_i - \sum_{j=1}^n p_j}{n-m} \\ \sigma_c &= -\frac{-(-4)}{1-0} = -4 \end{aligned}$$

De asymptotohoek is de volgende:

$$k=0: \quad \theta_0 = \frac{1 \cdot 180}{1-0} = 180^\circ$$



Figuur 10: Poolbaan van transferfunctie 2

9. \hat{s} is een meervoudige wortel (of pool) van het gesloten-kring systeem indien (nodige maar geen voldoende voorwaarde):

$$N(\hat{s})T'(\hat{s}) - N'(\hat{s})T(\hat{s}) = 0$$

Bovenstaande voorwaarde geldt niet, er zijn dus geen meervoudige wortels.

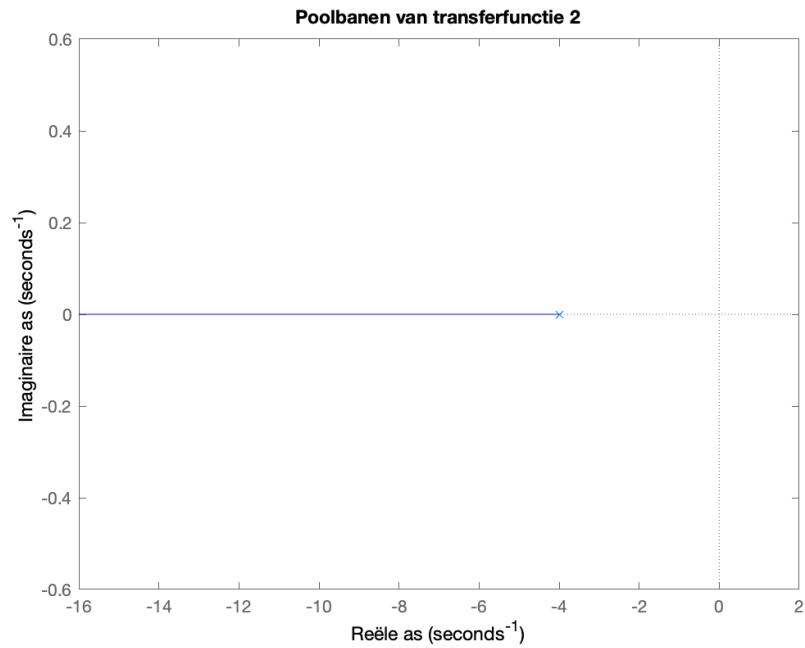
10. Snijpunten bepalen van poolbaan imaginaire as m.b.v het Routh-Hurwitz criterium eerder besproken:

Tabel 6: Routh-Hurwitz transferfunctie 2

	k_1	k_2	k_3
s^1	1	0	0
s^0	$4 + K$	0	0

De elementen in de eerste kolom moeten hetzelfde teken hebben, in dit geval dus positief aangezien 1 een positief getal is. Voor $K > 0$ zullen er geen niet-negatieve polen zijn en dus snijdt de poolbaan de imaginaire as dus niet.

De poolbaan gevonden in bovenstaande stappen in te zien in figuur 11



Figuur 11: Poolbaan van transferfunctie 2

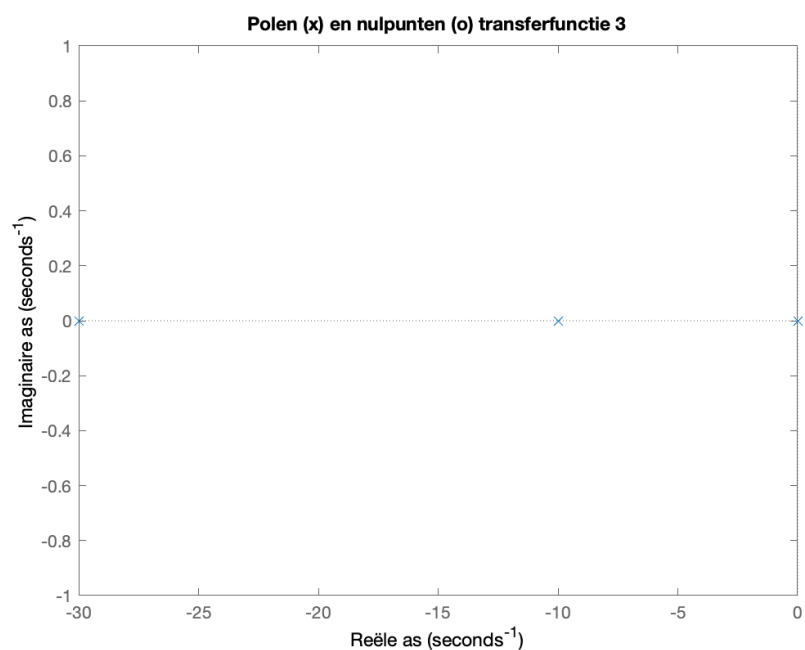
2.2.1.3 Transferfunctie 3

$$KG(s) = \frac{K}{s(s+10)(s+30)}$$

1. Karakteristieke vergelijking herschrijven als:

$$1 + KG(s) = 1 + \frac{K}{s(s+10)(s+30)} = 0$$

2. De teller T(s) en noemen N(s) van G(s) zijn al ontbonden in factoren.
3. Er zijn geen nulpunten en drie polen, namelijk $p_1 = 0$; $p_2 = -10$; $p_3 = -30$.



Figuur 12: Polen (x) en nulpunten (o) van transferfunctie 3

4. In dit geval zijn er drie takken. Deze lopen alle drie naar ∞ . Er is dus geen eindig eindpunt en er zijn drie eindpunten op oneindig.
5. In volgende intervallen is voldaan aan het hoekcriterium: $[-\infty, -30], [-10, 0]$
6. De poolbaan is symmetrisch t.o.v. de horizontale of reële as.
7. Aan de hand van regel 3 bepalen we de drie vertrekhoeken van de poolbaan (er is geen aankomsthoek).

De vertrekhoek van pool $p_1 = 0$:

$$\begin{aligned}
\vartheta_{p_1}^{p_1} &= -\vartheta_{p_2}^{p_1} - \vartheta_{p_3}^{p_1} \mp (2k+1)180^\circ \\
\iff \vartheta_{p_1}^{p_1} &= -\arg(p_1 - p_2) - \arg(p_1 - p_3) \mp (2k+1)180^\circ \\
\iff \vartheta_{p_1}^{p_1} &= -\arg(0 - (-10)) - \arg(0 - (-30)) \mp (2k+1)180^\circ \\
\iff \vartheta_{p_1}^{p_1} &= -0^\circ - 0^\circ \mp (2k+1)180^\circ \\
\iff \vartheta_{p_1}^{p_1} &= 180^\circ
\end{aligned}$$

De vertrekhoek van pool $p_2 = -10$:

$$\begin{aligned}
\vartheta_{p_2}^{p_2} &= -\vartheta_{p_1}^{p_2} - \vartheta_{p_3}^{p_2} \mp (2k+1)180^\circ \\
\iff \vartheta_{p_2}^{p_2} &= -\arg(p_2 - p_1) - \arg(p_2 - p_3) \mp (2k+1)180^\circ \\
\iff \vartheta_{p_2}^{p_2} &= -\arg(-10 - 0) - \arg(-10 - (-30)) \mp (2k+1)180^\circ \\
\iff \vartheta_{p_2}^{p_2} &= 180^\circ - 0^\circ \mp (2k+1)180^\circ \\
\iff \vartheta_{p_2}^{p_2} &= 0^\circ
\end{aligned}$$

De vertrekhoek van pool $p_3 = -30$:

$$\begin{aligned}
\vartheta_{p_3}^{p_3} &= -\vartheta_{p_1}^{p_3} - \vartheta_{p_2}^{p_3} \mp (2k+1)180^\circ \\
\iff \vartheta_{p_3}^{p_3} &= -\arg(p_3 - p_1) - \arg(p_3 - p_2) \mp (2k+1)180^\circ \\
\iff \vartheta_{p_3}^{p_3} &= -\arg(-30 - 0) - \arg(-30 - 10) \mp (2k+1)180^\circ \\
\iff \vartheta_{p_3}^{p_3} &= 180^\circ + 180^\circ \mp (2k+1)180^\circ \\
\iff \vartheta_{p_3}^{p_3} &= 180^\circ
\end{aligned}$$

8. Het intercept σ_c wordt gegeven door:

$$\begin{aligned}
\sigma_c &= -\frac{\sum_{i=1}^m z_i - \sum_{j=1}^n p_j}{n - m} \\
\sigma_c &= -\frac{-0 - (-10) - (-30)}{3 - 0} = \frac{-40}{3}
\end{aligned}$$

De asymptotoehoeken zijn de volgende:

$$\begin{aligned}
k = 0 : \quad \vartheta_0 &= \frac{1 * 180}{3 - 0} = 60^\circ \\
k = 1 : \quad \vartheta_1 &= \frac{2 + 1 * 180}{3 - 0} = 180^\circ \\
k = 2 : \quad \vartheta_2 &= \frac{4 + 1 * 180}{3 - 0} = 300^\circ
\end{aligned}$$

9. \hat{s} is een meervoudige wortel (of pool) van het gesloten-kring systeem indien (nodige maar geen voldoende voorwaarde):

$$\begin{aligned}
N(\hat{s})T'(\hat{s}) - N'(\hat{s})T(\hat{s}) &= 0 \\
s(s+10)(s+30) * 0 - (3s^2 + 80s + 300) * 1 &= 0
\end{aligned}$$

Met:

$$D = 2800$$

$$s_{12} = \frac{b \pm \sqrt{D}}{2a}$$

$$s_1 = -22.1515$$

$$s_2 = -4.5125$$

Er zijn dus 2 punten kandidaat als meervoudige wortel want punt 9 is een nodige maar geen voldoende voorwaarde voor meervoudige wortels. Aangezien enkel $s_2 = -4.5125$ op de poolbaan ligt zal dit een meervoudige wortel zijn.

10. Snijpunten bepalen van poolbaan imaginaire as m.b.v het Routh-Hurwitz criterium eerder besproken:

Tabel 7: Routh-Hurwitz transferfunctie 3

	k_1	k_2
s^3	1	300
s^2	40	K
s^1	$300 - \frac{K}{40}$	0
s^0	0	0

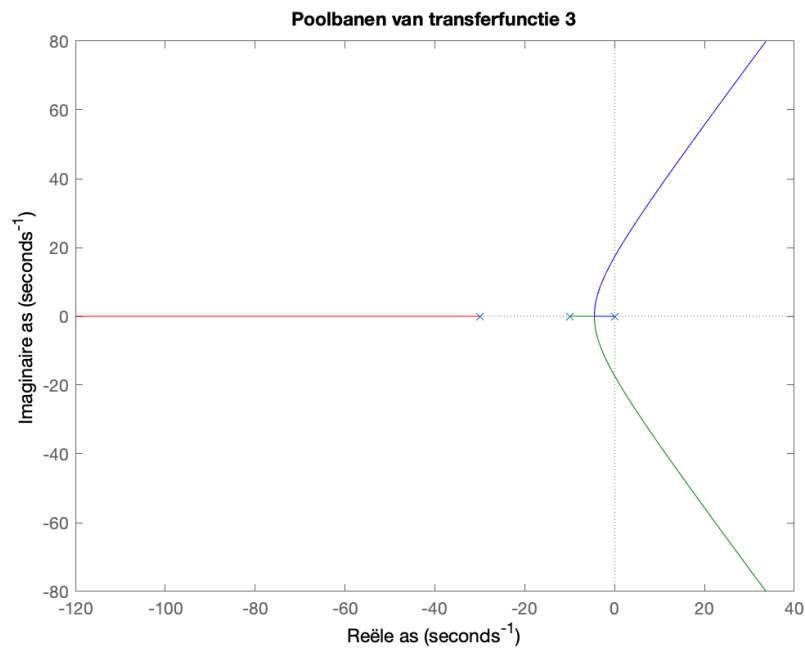
De elementen in de eerste kolom moeten hetzelfde teken hebben, in dit geval positief. Indien $K \leq 1200$, is dit het geval. De snijpunten van de imaginaire as kunnen dan als volgt worden berekend: de tweede rij wordt gekozen als hulppolynoom met $K = 1200$.

$$40s^2 + K = 0$$

$$s_{12} = \sqrt{\frac{-1200}{40}}$$

De poolbaan snijdt de imaginaire as op $s = 10\sqrt{3}j$ en $s = -10\sqrt{3}j$.

De poolbaan gevonden in bovenstaande stappen in te zien in figuur 13



Figuur 13: Poolbaan van transferfunctie 3

2.2.1.4 Transferfunctie 4

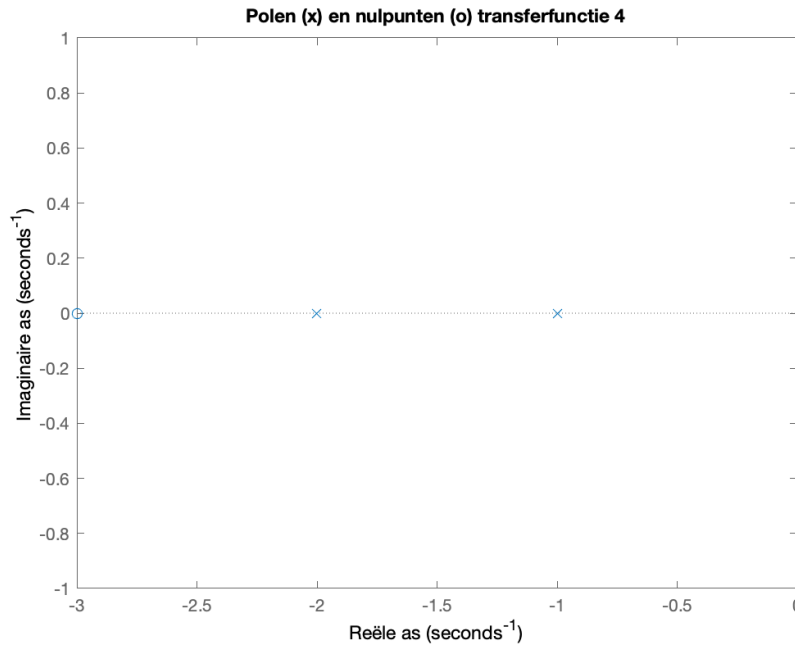
$$KG(s) = \frac{K(s+3)}{(s+1)(s+2)}$$

1. Karakteristieke vergelijking herschrijven als:

$$1 + KG(s) = 1 + \frac{K(s+3)}{(s+1)(s+2)} = 0$$

2. De teller T(s) en noemer N(s) van G(s) zijn al ontbonden in factoren.

3. Er is één nulpunt, $z_1 = -3$, en er zijn twee polen, $p_1 = -1$ en $p_2 = -2$.



Figuur 14: Polen (x) en nulpunten (o) van transferfunctie 4

4. In dit geval zijn er drie takken, waarvan één tak als eindpunt het nulpunt -3 zal hebben. De andere twee lopen asymptotisch naar ∞ . Er is dus één eindig eindpunt en er zijn twee eindpunten op oneindig.

5. In volgende intervallen is voldaan aan het hoekcriterium: $[-\infty, -3]$, $[-2, -1]$

6. De poolbaan is symmetrisch t.o.v. de horizontale of reële as.

7. Aan de hand van regel 3 bepalen we de vertrekhoek en aankomsthoek van iedere tak van de poolbaan.

De vertrekhoek van pool $p_1 = -1$:

$$\begin{aligned} \vartheta_{p_1}^{p_1} &= \vartheta_{z_1}^{p_1} - \vartheta_{p_2}^{p_1} \mp (2k+1)180^\circ \\ \iff \vartheta_{p_1}^{p_1} &= \arg(p_1 - z_1) - \arg(p_1 - p_2) \mp (2k+1)180^\circ \\ \iff \vartheta_{p_1}^{p_1} &= \arg(0 - (-1)) - \arg(0 - (-2)) \mp (2k+1)180^\circ \\ \iff \vartheta_{p_1}^{p_1} &= \arg(1) - \arg(2) \mp (2k+1)180^\circ \\ \iff \vartheta_{p_1}^{p_1} &= 0^\circ - 0^\circ \mp (2k+1)180^\circ \\ \iff \vartheta_{p_1}^{p_1} &= 180^\circ \end{aligned}$$

De vertrekhoek van pool $p_2 = -2$:

$$\begin{aligned} \vartheta_{p_2}^{p_2} &= \vartheta_{z_1}^{p_2} - \vartheta_{p_1}^{p_2} \mp (2k+1)180^\circ \\ \iff \vartheta_{p_2}^{p_2} &= \arg(p_2 - z_1) - \arg(p_2 - p_1) \mp (2k+1)180^\circ \end{aligned}$$

$$\begin{aligned}
\iff \vartheta_{p_2}^{p_2} &= \arg(-2 - (-1)) - \arg(-2 - 0) \mp (2k + 1)180^\circ \\
\iff \vartheta_{p_2}^{p_2} &= \arg(-1) - \arg(-2) \mp (2k + 1)180^\circ \\
\iff \vartheta_{p_2}^{p_2} &= -360^\circ \mp (2k + 1)180^\circ \\
\iff \vartheta_{p_2}^{p_2} &= 180^\circ
\end{aligned}$$

De aankomsthoek van nulpunt $z_1 = -3$:

$$\begin{aligned}
\vartheta_{z_1}^{z_1} &= \vartheta_{p_1}^{z_1} + \vartheta_{p_2}^{z_1} \pm (2k + 1)180^\circ \\
\iff \vartheta_{z_1}^{z_1} &= \arg(z_1 - p_1) + \arg(z_1 - p_2) \pm (2k + 1)180^\circ \\
\iff \vartheta_{z_1}^{z_1} &= \arg(-1 - 0) + \arg(-1 - (-2)) \pm (2k + 1)180^\circ \\
\iff \vartheta_{z_1}^{z_1} &= -180^\circ + 0^\circ \pm (2k + 1)180^\circ \\
\iff \vartheta_{z_1}^{z_1} &= 0^\circ
\end{aligned}$$

8. Het intercept σ_c wordt gegeven door:

$$\begin{aligned}
\sigma_c &= -\frac{\sum_{i=1}^m z_i - \sum_{j=1}^n p_j}{n - m} \\
\sigma_c &= -\frac{-3 - (-1) - (-2)}{2 - 1} = 0
\end{aligned}$$

De asymptotoothoeken zijn de volgende:

$$k = 0 : \quad \vartheta_0 = \frac{1 * 180}{2 - 1} = 180^\circ$$

9. \hat{s} is een meervoudige wortel (of pool) van het gesloten-kring systeem indien (nodige maar geen voldoende voorwaarde):

$$\begin{aligned}
N(\hat{s})T'(\hat{s}) - N'(\hat{s})T(\hat{s}) &= 0 \\
(s + 1)(s + 2) * 1 - (s + 3) * (2s + 3) &= 0
\end{aligned}$$

Met:

$$\begin{aligned}
D &= 8 \\
s_{12} &= \frac{b \pm \sqrt{D}}{2a} \\
s_1 &= -1.568 \\
s_2 &= -4.414
\end{aligned}$$

Er zijn dus 2 punten kandidaat als meervoudige wortel want punt 9 is een nodige maar geen voldoende voorwaarde voor meervoudige wortels. Aangezien beide op de poolbaan liggen zullen er 2 meervoudige wortels zijn.

10. Snijpunten bepalen van poolbaan imaginaire as m.b.v het Routh-Hurwitz criterium eerder besproken:

Tabel 8: Routh-Hurwitz transferfunctie 4

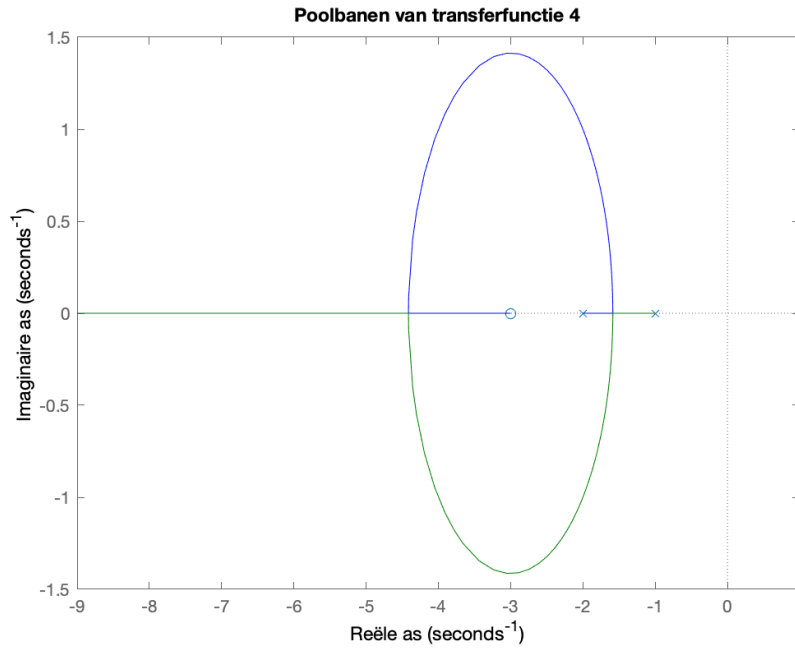
	k_1	k_2
s^2	1	$2+3K$
s^1	$3+K$	0
s^0	0	0

De elementen in de eerste kolom moeten hetzelfde teken hebben, in dit geval positief. Indien $K \leq -3$, is dit het geval. De snijpunten van de imaginaire as kunnen dan als volgt worden berekend: de tweede rij wordt gekozen als hulppolynoom met $K = -3$.

$$\begin{aligned}
s^2 + 1 + 2 + 3K &= 0 \\
s_{12} &= \pm\sqrt{7}
\end{aligned}$$

Geen imaginair getal en dus geen snijpunten met de imaginaire as.

De poolbaan gevonden in bovenstaande stappen in te zien in figuur 15



Figuur 15: Poolbaan van transferfunctie 4

2.3 Poolbaan solenoïd klep

In deze sectie wordt de poolbaan van de gesloten-kring transferfunctie van de solenoïd klep met als variabele parameter de versterking $K_r c$ berekend. De simulatie wordt uitgevoerd met behulp van matlab voor het gesloten kring systeem met P-regelaar en voor het gesloten-kring systeem met PI-regelaar (met $\tau_i c = 1s$). Dit wordt telkens voor zowel het evaluatiemodel als het ontwerpmodel gedaan. De resultaten worden hieronder weergegeven. De eerder gevonden vergelijkingen voor de solenoïd klep worden hier nog eens herhaald:

Evaluatiemodel:

$$\frac{x}{v} = \frac{\frac{K_c}{kR}}{a_0 s^3 + a_1 s^2 + a_2 s + 1}$$

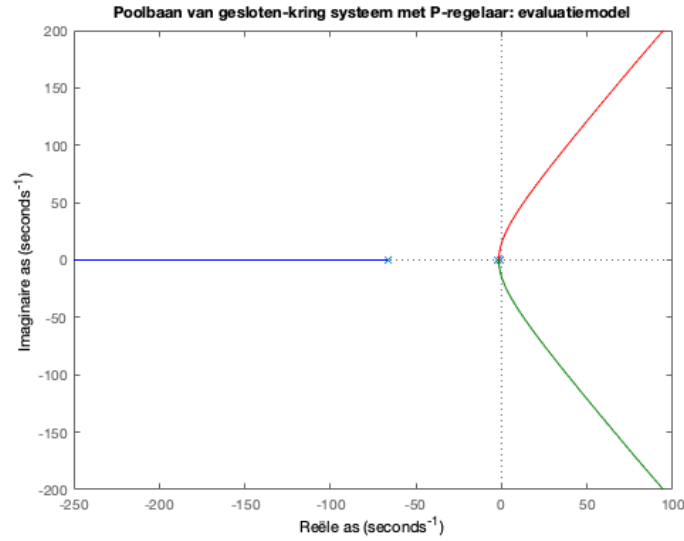
Ontwerpmodel: (dynamica van spoel wordt verwaarloosd)

$$\frac{x}{v} = \frac{\frac{K_c}{Rk}}{a_0 s^2 + a_1 s + 1}$$

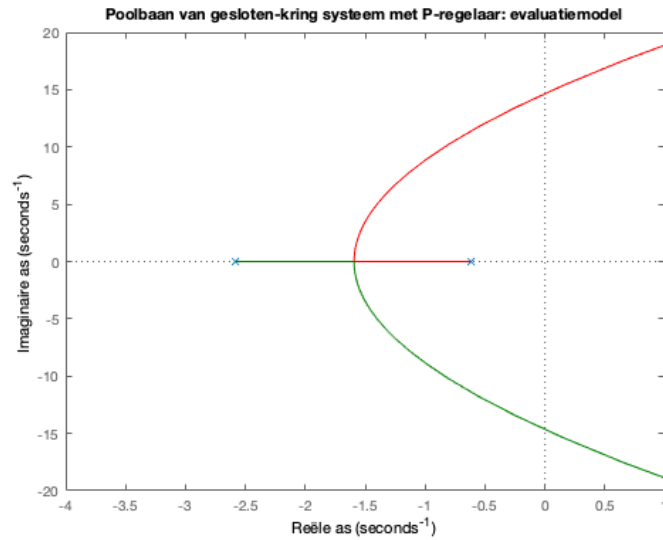
2.3.1 Gesloten-kring systeem met P-regelaar

Na het uitvoeren van de poolbaanprocedure bekomen voor het evaluatie- en ontwerpmodel met de P-regelaar respectievelijk figuur 16 en figuur 18. Ter verduidelijking is er een ingezoomde versie van het evaluatiemodel te zien in figuur 17.

2.3.1.1 Evaluatiemodel



Figuur 16: Poolbaan van gesloten-kring systeem met P-regelaar: evaluatiemodel

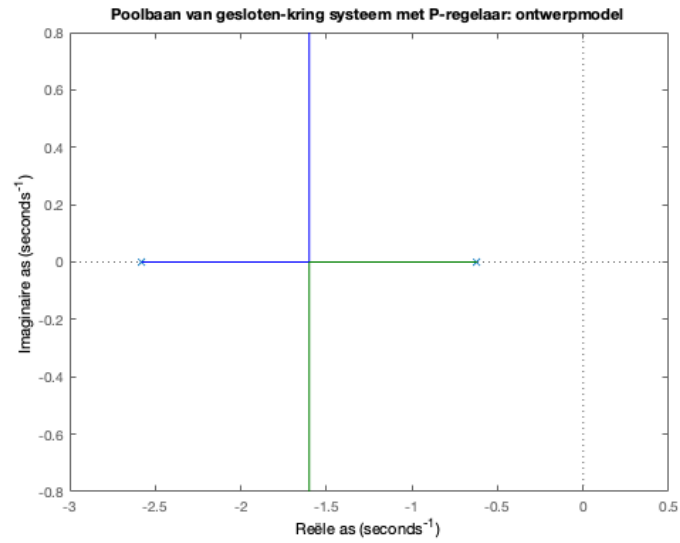


Figuur 17: Poolbaan van gesloten-kring systeem met P-regelaar: evaluatiemodel - ingezoomd

De gesloten-kring transferfunctie van het evaluatiemodel heeft drie polen: $p_1 = 0.62$; $p_2 = 2.58$ en $p_3 = 66.7$. De reële assen die behoren tot de poolbaan bevinden zich links van p_3 en tussen p_1 en p_2 . Tussen de twee polen p_1 en p_2 is er een uitbreekpunt op het punt $s = 1.59$. Alle takken lopen naar oneindig aangezien er geen nulpunten zijn.

De poolbaan van het evaluatiemodel bevindt zich dus deels in de rechterhelft van het vlak, waardoor het systeem onstabiel zal worden bij een verhoging van de versterking K_c .

2.3.1.2 Ontwerpmodel



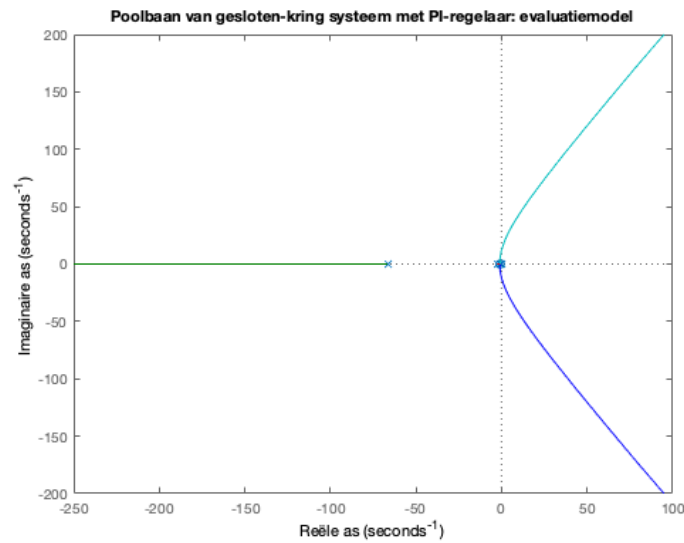
Figuur 18: Poolbaan van gesloten-kring systeem met P-regelaar: ontwerpmodel

De gesloten-kring transferfunctie van het ontwerpmodel heeft twee polen: $p_1 = 0.62$ en $p_2 = 2.58$. De reële as tussen de twee polen behoort tot de poolbaan. Er bevindt zich een uitbreekpunt tussen de twee polen op het punt $s = 1.60$. Beide takken lopen asymptotisch naar oneindig met een asymptotohoek van 90° en -90° , de versterking zal dus niet bepalen of het systeem onstabiel wordt.

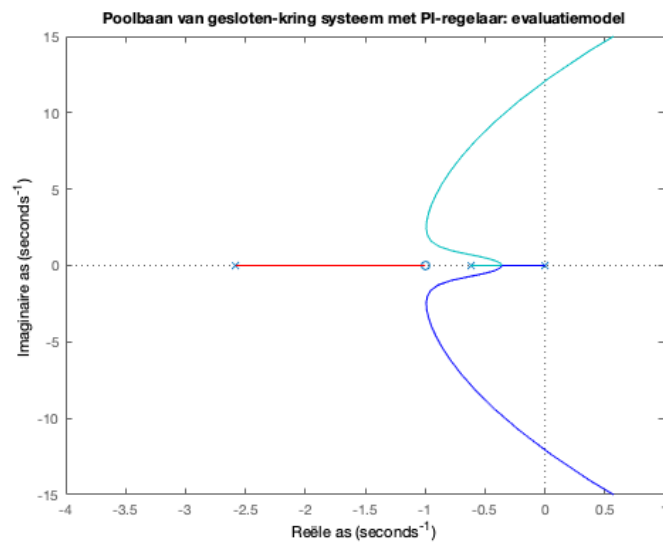
De hele poolbaan bevindt zich in de linkerhelft van het vlak en het volgens het ontwerpmodel is het systeem dus altijd stabiel. Het ontwerpmodel is dus geen goede benadering van het evaluatiemodel.

2.3.2 Gesloten-kring systeem met PI-regelaar

2.3.2.1 Evaluatiemodel



Figuur 19: Poolbaan van gesloten-kring systeem met PI-regelaar: evaluatiemodel

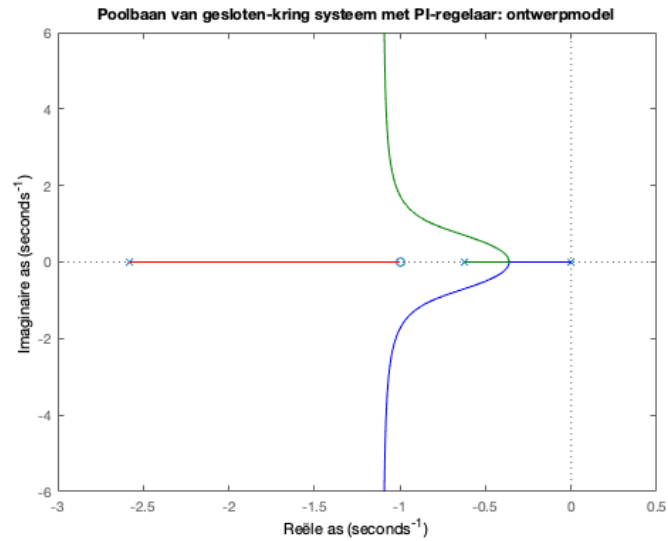


Figuur 20: Poolbaan van gesloten-kring systeem met PI-regelaar: evaluatiemodel - ingezoomd

De gesloten-kring transferfunctie van het evaluatiemodel heeft vier polen: $p_1 = 0$; $p_2 = 0,62$; $p_3 = 2,58$ en $p_4 = 66,7$, en één nulpunt $z_1 = 1$. De reële as links van p_4 , tussen p_3 en z_1 en tussen p_1 en p_2 behoren tot de poolbaan. Het uitbreekpunt tussen p_1 en p_2 is $s = -0.362$.

De poolbaan van het evaluatiemodel bevindt zich dus deels in de rechterhelft van het vlak, waardoor het systeem onstabiel zal worden bij een verhoging van de versterking K_c .

2.3.2.2 Ontwerpmodel



Figuur 21: Poolbaan van gesloten-kring systeem met PI-regelaar: ontwerpmodel

De gesloten-kring transferfunctie van het ontwerpmodel heeft drie polen: $p_1 = 0$; $p_2 = -0.62$; $p_3 = -2.58$ en één nulpunt $z_1 = -1$. De reële as tussen p_3 en z_1 en tussen p_1 en p_2 behoren tot de poolbaan. Het uitbreekpunt tussen p_1 en p_2 bevindt zich in het punt $s = 0.362$. De takken uit p_1 en p_2 lopen asymptotisch naar oneindig met een asymptotohoek van 90° en -90° , de versterking zal dus niet bepalen of het systeem onstabiel wordt.

De hele poolbaan bevindt zich in de linkerhelft van het vlak en het volgens het ontwerpmodel is het systeem dus altijd stabiel. Het ontwerpmodel is dus geen goede benadering van het evaluatiemodel.

3 Analyse van regelsystemen in het frequentiedomein

3.1 Bode-analyse van het dynamisch gedrag van de solenoïdklep met positieregeling

Met behulp van het bodediagramma van het systeem kan afgelezen worden of het systeem al dan niet stabiel is. Het bodediagramma bestaat uit 2 grafieken namelijk een magnitudeplot met $20\log_{10}|G(j\omega)|$, uitgedrukt in decibel of dB , als functie van de frequentie ω , uitgedrukt in rad/s, en een faseplot met $\angle G(j\omega)$, uitgedrukt in graden en ook als functie van ω . De stabiliteit van het gesloten-kring systeem kan bepaald worden met behulp van het Nyquist stabiliteitscriterium. Dit criterium stelt dat voor een stabiel open-kring systeem het gesloten-kring systeem stabiel zal zijn op voorwaarde dat $|G_o(j\omega)| < 1$ wanneer $\arg[G_o(j\omega)] = -180^\circ$.

Het gesloten-kring systeem moet een zeker immuniteit bezitten ten opzichte van niet gemodelleerde dynamische fenomenen. De versterkingsmarge of amplitudemarge wordt gedefinieerd als de waarde (extra aantal dB) waarmee de open-kring magnitude $|G_o(j\omega_p)|$ mag toenemen aan de fasedoortochtfrequentie ω_p vooraleer de magnitude één wordt bereikt. Deze fasedoortochtfrequentie is de frequentie waarop de fase van $G_o(s)$ gelijk is aan -180° of $\arg[G_o(j\omega)] = -180^\circ$. Hoe meer $|G_o(j\omega_p)|$ kleiner is dan 1 hoe meer het gesloten-kring systeem ongevoelig wordt voor niet gemodelleerde dynamische fenomenen. De fasemarge wordt gedefinieerd als de waarde (extra aantal graden) waarmee de open-kring fase $\arg[G_o(j\omega_g)]$ mag toenemen aan de magnitudoortochtfrequentie ω_g vooraleer een fase van -180° wordt bereikt. Deze magnitudoortochtfrequentie is de frequentie waarbij de open-kring versterking gelijk is aan één. De versterkingsmarge en fasemarge kunnen met behulp van matlab berekend worden.

3.1.1 Magnitude- en faseplot van de open-kring transferfunctie

Met behulp van matlab werden de bodediagramma's van de open-kring transferfunctie berekend voor de verschillende versterkingen K_{rc} alsook de bijhorende amplitude- en fasemarges. De open-kring transferfunctie van de solenoïdklep met positieregeling kan als volgt geschreven worden

$$G_o(s) = G_r(s)G_{cp}(s)$$

waarbij $G_{cp}(s)$ de transferfunctie is van de solenoïdklep die werd afgeleid in 1.1 en $G_r(s)$ de transferfunctie van de regelaar. Voor de P-regelaar is deze

$$G_r(s) = K_{rc}$$

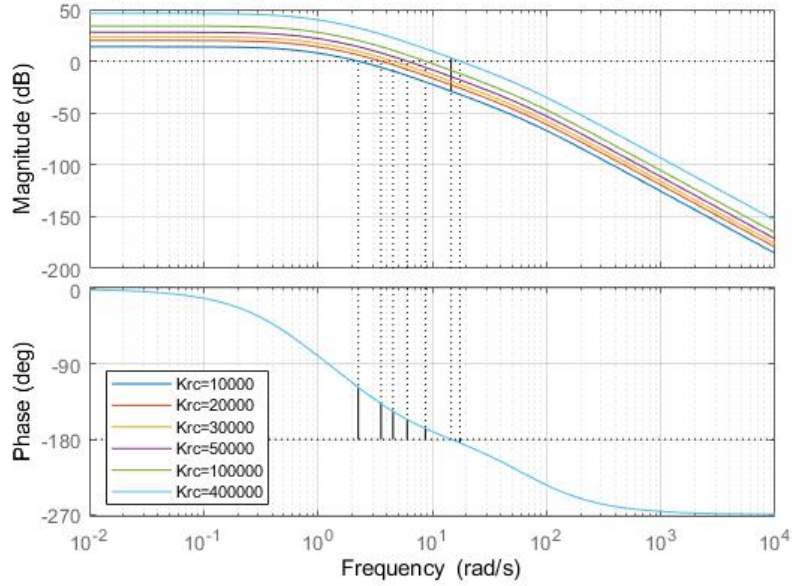
en voor de PI-regelaar

$$G_r(s) = K_{rc}\left(1 + \frac{1}{\tau_{ic}s}\right)$$

3.1.1.1 P-regelaar: evaluatiemodel

In figuur 22 is het bodediagramma weergegeven van de open-kring transferfunctie met de P-regelaar voor het evaluatiemodel en dit voor de verschillende waarden van de versterking K_{rc} . Een hogere versterking van regelaar zorgt voor een verschuiving van de magnitudeplot naar boven. De zwarte lijn op de magnitudeplot stelt de amplitudemarges voor. De faseplot is voor elke versterking hetzelfde, na-ijlend en gaat naar -270° voor hoge frequenties. De zwarte lijnen op de faseplot stellen de fasemarges voor. In tabel 9 zijn de waarden weergegeven van de amplitude- en fasemarges voor de verschillende K_{rc} waarden. Indien de versterking van de P-regelaar verhoogt, dalen deze marges wat aangeeft dat het gesloten-kring systeem minder immuniteit of robuustheid bezit ten opzichte van niet-gemodelleerde dynamische fenomenen. Bij een versterking van 400 000 is de fasemarge zelfs negatief waardoor het gesloten-kring systeem niet langer stabiel is.

Bode-diagramma van open-kring transferfunctie met P-regelaar: evaluatiemodel



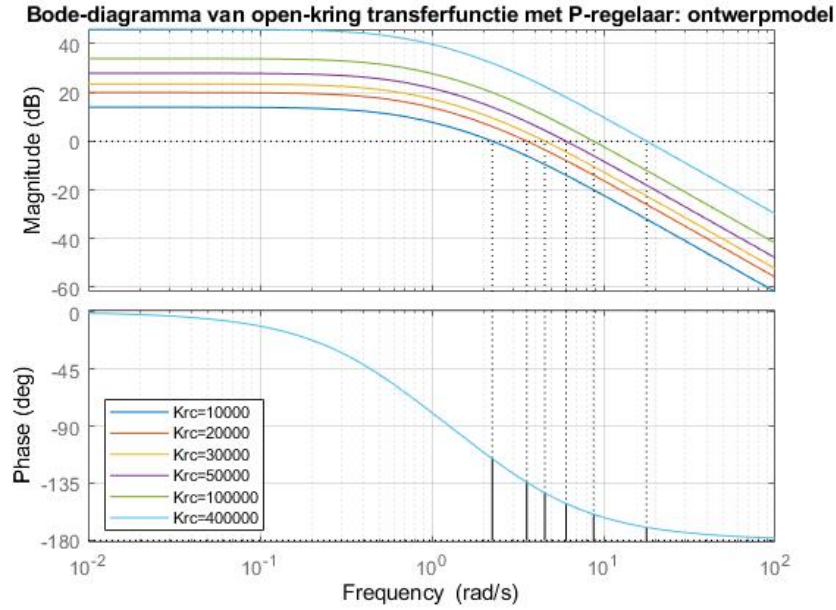
Figuur 22: Bode-diagramma van de open-kring transferfunctie met P-regelaar voor het evaluatiemodel

Tabel 9: Amplitude- en fasemarges bijhorend bij het bode-diagramma van de open-kring transferfunctie met P-regelaar voor het evaluatiemodel

K_{rc}	Amplitudemarge	Fasemarge
10000	27,96	62,36
20000	13,98	42,62
30000	9,32	33,47
50000	5,59	23,83
100000	2,80	13,13
400000	0,70	-4,28

3.1.1.2 P-regelaar: ontwerpmodel

Voor het ontwerpmodel ziet de transferfunctie $G_r(s)$ er anders uit en is van 2e orde in plaats van 3e orde. Dit komt door het feit dat de dynamica van de elektrische spoel verwaarloosd wordt. Figuur 23 geeft de bodediagramma's weer van de open-kring transferfunctie met de P-regelaar, maar nu voor het ontwerpmodel. De faseplot geeft weer dat het systeem opnieuw na-ijlend is, maar nu naar -180° gaat voor hoge frequenties. Deze waarde wordt nooit exact behaald waardoor de amplitudemarges oneindig groot worden. Dit is te zien in tabel 10 die de amplitude- en fasemarges weergeeft van het ontwerpmodel. Hierbij valt ook op dat voor een versterking van 400 000 de fasemarge niet langer negatief is waardoor het systeem stabiel blijft en ongevoelig blijkt te zijn voor niet-gemodelleerde dynamische fenomenen.



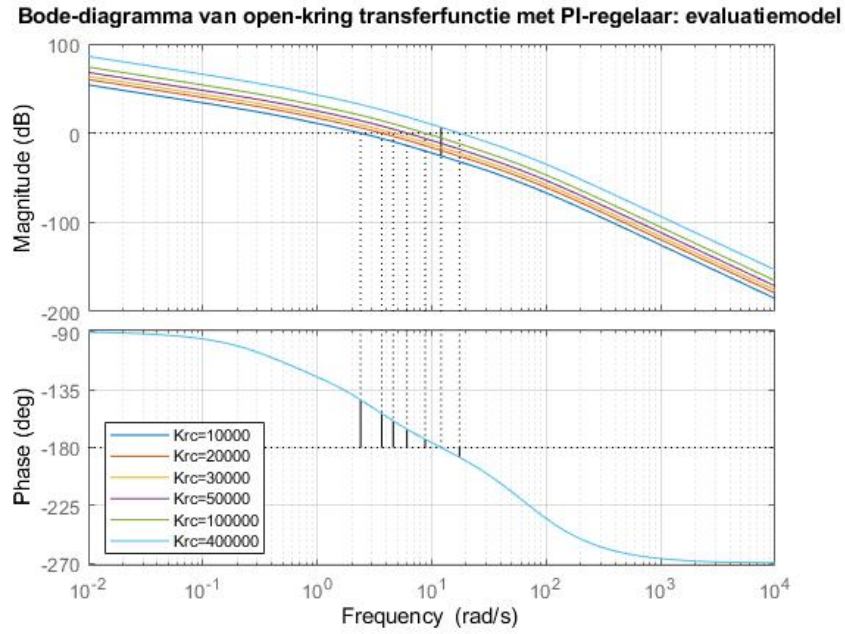
Figuur 23: Bode-diagramma van de open-kring transferfunctie met P-regelaar voor het ontwerpmodel

Tabel 10: Amplitude- en fasemarges bijhorend bij het bode-diagramma van de open-kring transferfunctie met P-regelaar voor het ontwerpmodel

K_{rc}	Amplitudemarge	Fasemarge
10000	Inf	64,27
20000	Inf	45,65
30000	Inf	37,33
50000	Inf	28,95
100000	Inf	20,48
400000	Inf	10,25

3.1.1.3 PI-regelaar: evaluatiemodel

Figuur 24 geeft de bodediagramma's weer van de open-kring transferfunctie met de PI-regelaar voor het evaluatiemodel voor de verschillende waarden van de versterking K_{rc} . Opnieuw stelt de zwarte lijn in de magnitudeplot de amplitudemarges voor en de zwarte lijnen in de faseplot de fasemarges. De integrerende werking (I-actie) van de PI-regelaar is te zien in de magnitudeplot bij lagere frequenties waar de magnitudelijn daalt met 20 dB per decade en in de faseplot bij lagere frequenties waar er een fase na-ijling is van -90° . Bij hogere frequenties zal de PI-regelaar zich meer gedragen als een P-regelaar omdat de P-actie domineert. In tabel 11 zijn de amplitude- en fasemarges weergegeven die behoren tot het bode-diagramma van de open-kring transferfunctie met de PI-regelaar voor het evaluatiemodel. Hierin is te zien dat opnieuw voor een hogere versterking K_{rc} de marges dalen waardoor het systeem met een PI-regelaar ook minder immuniteit of robuustheid bezit voor niet-gemodelleerde dynamische fenomenen. Ook voor het evaluatiemodel met de PI-regelaar zal het gesloten-kring systeem onstabiel worden bij een versterking van 400 000 V/m aangezien de fasemarge bij deze versterking negatief is. In vergelijking met het evaluatiemodel met de P-regelaar zijn deze marges kleiner waardoor er eerder een kleinere versterking K_{rc} gewenst is om toch robuustheid te bezitten.



Figuur 24: Bode-diagramma van de open-kring transferfunctie met PI-regelaar voor het evaluatiemodel

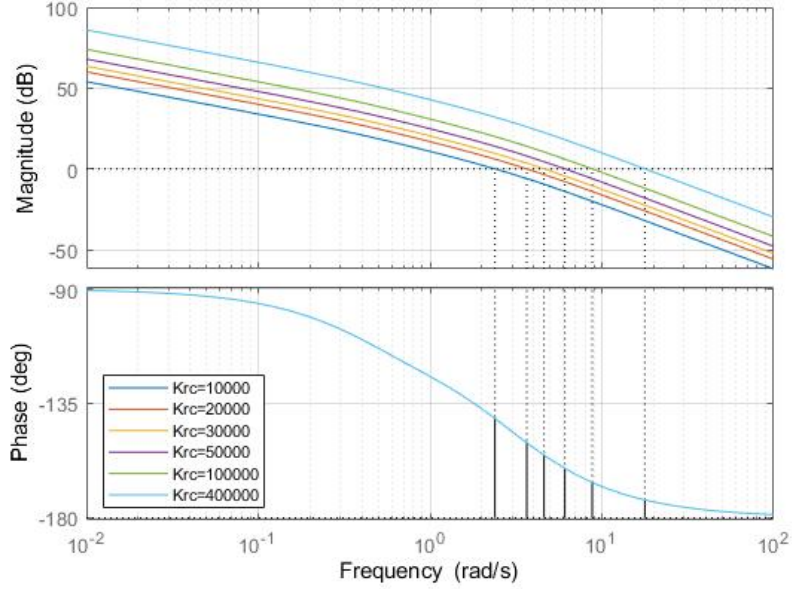
Tabel 11: Amplitude- en fasemarges bijhorend bij het bode-diagramma van de open-kring transferfunctie met PI-regelaar voor het evaluatiemodel

K_{rc}	Amplitudemarge	Fasemarge
10000	18,90	37,01
20000	9,45	26,43
30000	6,30	20,74
50000	3,78	14,26
100000	1,89	6,51
400000	0,47	-7,57

3.1.1.4 PI-regelaar: ontwerpmodel

De bodediagramma's van de open-kring transferfunctie met de PI-regelaar voor het ontwerpmodel worden weergegeven door figuur 25. Ook hier is het systeem opnieuw na-ijlend, maar naar -180° voor hogere frequenties. In deze bodediagramma's is de I-actie te zien voor lagere frequenties en de P-actie voor hogere frequenties. Net zoals voor het ontwerpmodel met de P-regelaar zal deze waarde nooit behaald worden waardoor de amplitudemarges oneindig groot zijn, wat te zien is in tabel 12 die de amplitude- en fasemarges weergeeft die behoren tot figuur 25. Opnieuw valt op dat voor een versterking van 400 000 de fasemarge niet negatief is waardoor het systeem stabiel blijft.

Bode-diagramma van open-kring transferfunctie met PI-regelaar: ontwerpmodel



Figuur 25: Bode-diagramma van de open-kring transferfunctie met PI-regelaar voor het ontwerpmodel

Tabel 12: Amplitude- en fasemarges bijhorend bij het bode-diagramma van de open-kring transferfunctie met PI-regelaar voor het ontwerpmodel

K_{rc}	Amplitudemarge	Fasemarge
10000	Inf	39,05
20000	Inf	29,54
30000	Inf	24,66
50000	Inf	19,44
100000	Inf	13,92
400000	Inf	7,03

3.1.2 Magnitudeplot van de gesloten-kring transferfunctie

De magnitudeplot van de gesloten-kring transferfunctie werd berekend met behulp van matlab voor zowel het evaluatiemodel als het ontwerpmodel voor beide de P- en de PI-regelaar. Dit werd gedaan voor alle versterkingen van de beide regelaars, met éénzelfde tijdsconstante. Het resultaat is te zien in figuren 26-29

De gesloten-kring transferfunctie $G_t(s)$ wordt als volgt gedefinieerd:

$$G_t(s) = \frac{G_o(s)}{1 + G_o(s)} \quad (25)$$

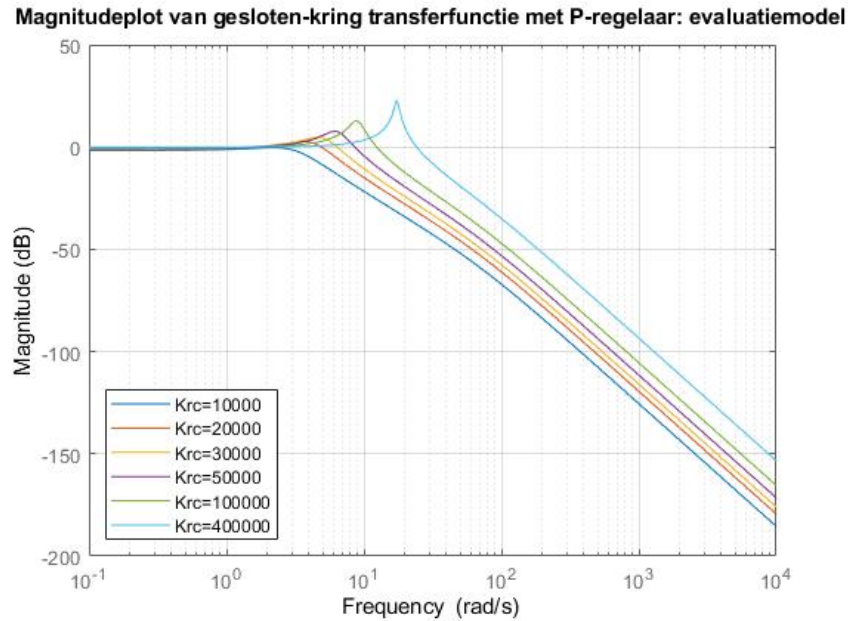
Waarbij G_o de open-kring transferfunctie of kringversterking is.

De vier onderstaande plots tonen een vrij gelijkaardig verloop. Bij de P-regelaar bij lage frequenties benaderen de lijnen 0 dB waarbij $|G_o(j\omega)| = 1$. Dit toont aan dat het referentiesignaal nauwkeurig gevolgd wordt in de lage frequenties. Bij de PI-regelaar vallen de magnitudelijnen samen met 0 dB, het referentiesignaal wordt dus exact bereikt terwijl er bij een P-regelaar altijd een foutsignaal aanwezig zal zijn.

Daarna stijgt de magnitude plots in alle plots, ten hoogte van de eigenfrequentie van het systeem. De piek schuift op naar rechts voor grotere versterkingen. Ruis wordt rond deze frequentie versterkt wat tot instabiliteit kan leiden, te hoge versterkingen zijn dus weeral niet goed voor het systeem.

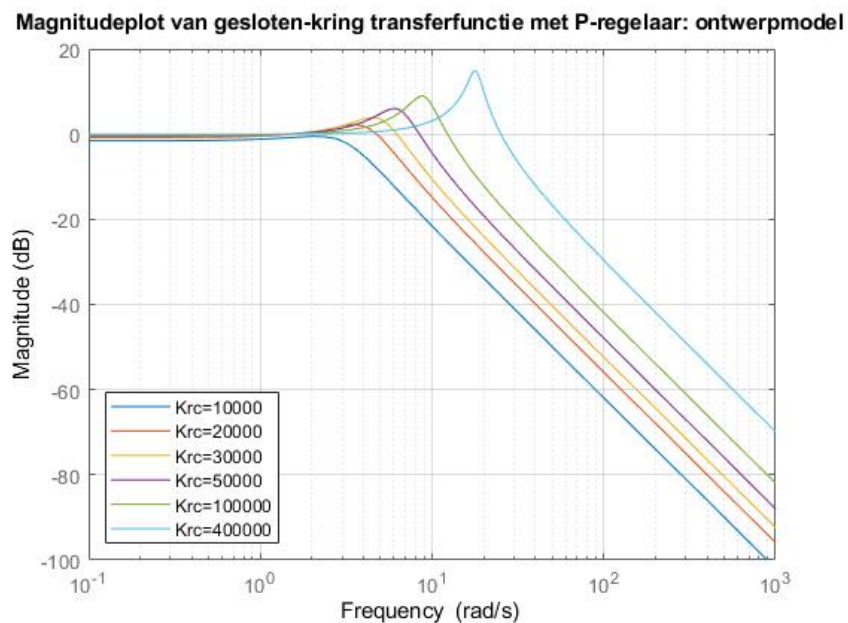
Bij hoge frequenties daalt de magnitude voor voor zowel de P- als de PI-regelaar. Dit is een gewenst effect omdat op die manier de sensorruis en de niet-gemodelleerde hoogfrequente dynamische fenomenen goed afgefilterd worden.

3.1.2.1 P-regelaar: evaluatiemodel



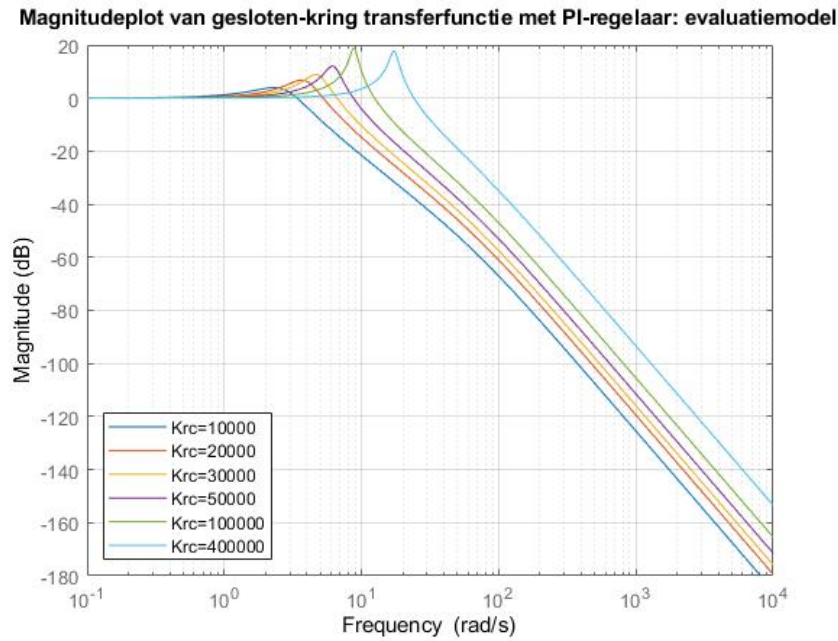
Figuur 26: Magnitudeplot van de gesloten-kring transferfunctie met P-regelaar voor het evaluatiemodel

3.1.2.2 P-regelaar: ontwerpmodel



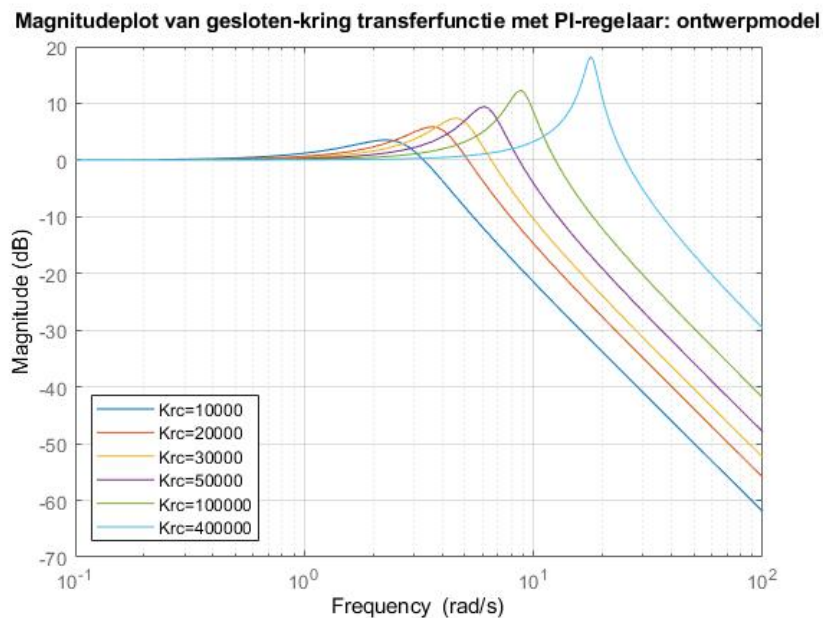
Figuur 27: Magnitudeplot van de gesloten-kring transferfunctie met P-regelaar voor het ontwerpmodel

3.1.2.3 PI-regelaar: evaluatiemodel



Figuur 28: Magnitudeplot van de gesloten-kring transferfunctie met PI-regelaar voor het evaluatiemodel

3.1.2.4 PI-regelaar: ontwerpmodel



Figuur 29: Magnitudeplot van de gesloten-kring transferfunctie met PI-regelaar voor het ontwerpmodel

3.1.3 Magnitudeplot van de sensitiviteitsfunctie

De sensitiviteit $S(s)$ is de transferfunctie van de meetruis/sensorruis v , naar het gemeten signaal y . Stel een simpel systeem met 2 inputsignalen, namelijk een referentiesignaal r en alle process variaties op het einde van het systeem v . Dit systeem kan worden voorgesteld door:

$$y = \frac{G_{cp}G_r}{1 + G_{cp}G_r}r + \frac{1}{1 + G_{cp}G_r}v \quad (26)$$

met de sensitiviteit:

$$S(s) = \frac{1}{1 + G_{cp}G_r} \quad (27)$$

Er kan opgemerkt worden indien $S(s) \simeq 0$, zal bijgevolg het effect van de meetruis op het gemeten signaal y , klein zijn. Daarnaast kan sensitiviteit ook worden beschreven met de nominale sensitiviteits piek M_s . Hierbij is:

$$M_s = \max_{0 < \omega < \infty} \left| \frac{1}{1 + G_{cp}(j\omega)G_r(j\omega)} \right| \quad (28)$$

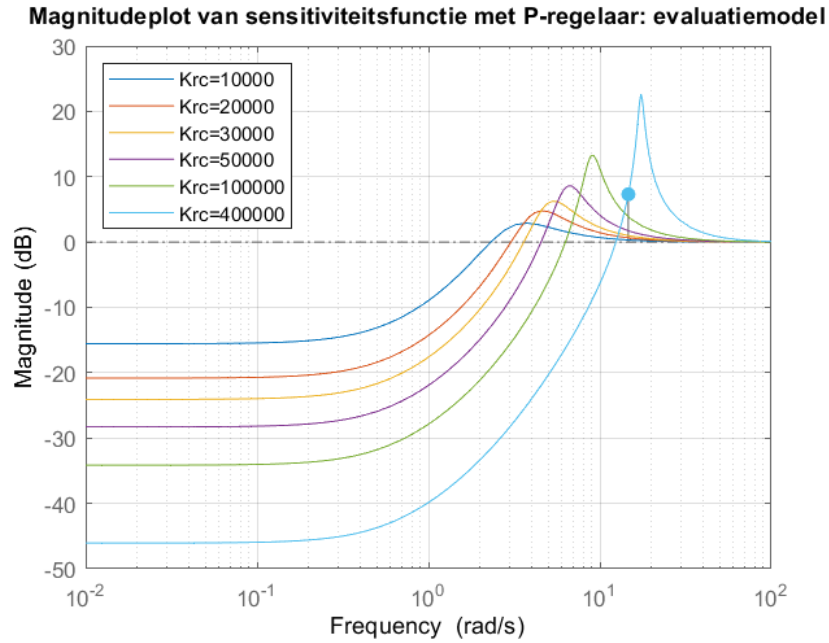
Deze formule minimaliseert de afstand tussen de nyquist plot en het onstabiele -1 punt. Deze minimale afstand wordt beschreven door $\min(G_{cp}(j\omega)G_r(j\omega) - (-1))$. Voor de nominale sensitiviteits piek te bekomen moet de inverse van de maximale afstand worden genomen. Een systeem met een hogere sensitiviteit is meer gevoelig aan procesvariaties. Dit wilt zeggen dat de nyquist plot punten vertoont die dicht tegen het -1 punt liggen zodat procesvariaties makkelijker het systeem onstabiel kunnen maken. Een bereik van de nominale sensitiviteits piek van 1,3 tot 2 wordt als normaal beschouwd, waarden boven dit bereik worden als hoog beschouwd.

3.1.3.1 P-regelaar: evaluatiemodel

Bij verlaging van de versterking zal de maximale sensitiviteit dalen. Dit wilt zeggen dat de gesloten-kring transfer functie minder gevoelig wordt voor procesvariatie, voor frequenties boven de breekpuntfrequentie. Zo wordt de nominale sensitiviteits piek voor $K_{rc} = 400000$ 22dB ofwel een magnitude van 12,5. Dit is zeer hoog. Deze conclusie kon echter al getrokken worden uit tabel 2, daar een fasemarge van -4,28 wordt bereikt. Voor een versterking van 100000 wordt een nominale sensitiviteits piek van 3,5 bereikt, wat nog steeds hoog is, maar beter als bij $K_{rc} = 400000$. Deze dalend trend van de nominale sensitiviteits piek zet zich verder naarmate de K_{rc} daalt.

Daarnaast kan bemerkt worden dat bij toename van de versterking de grafieken naar rechts zullen verschuiven. Dit betekent dat het systeem bij hogere versterking minder gevoelig wordt voor procesvariaties, voor frequenties kleiner dan de breekpuntfrequentie.

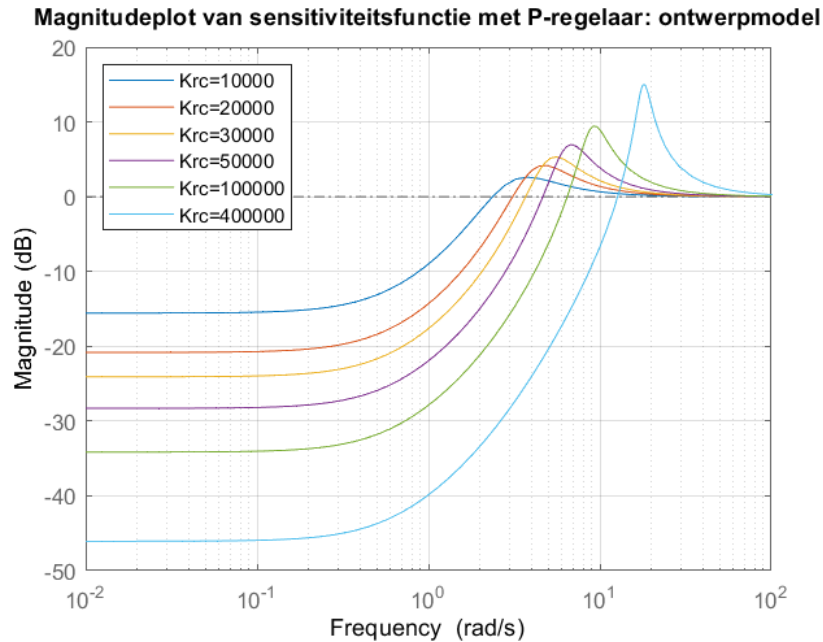
Er kan geconcludeerd worden dat voor lage frequenties, toename van K_{rc} voordelig is, daar het de gesloten-kring transferfunctie minder gevoelig maakt voor ruis. Deze grote voordelen voor lage frequentie, zijn echter grote nadelen voor de hogere frequentie rond de M_s doordat het systeem sneller onstabiel kan worden. Bij nog hogere frequenties voorbij de M_s zullen alle grafieken samenvallen tot 0 dB waarbij $|S| = \left| \frac{1}{1 + G_{cp}G_r} \right| = 1$. Dus voor zeer hoge frequenties zal het systeem niet meer of minder gevoelig zijn aan procesvariaties.



Figuur 30: Magnitudeplot van de sensitiviteitsfunctie met P-regelaar voor het evaluatiemodel

3.1.3.2 P-regelaar: ontwerpmodel

Het ontwerpmodel voor de P-regelaar vertoont dezelfde trends als het evaluatiemodel. Echter de maximale piekhoogte is lager voor elke versterking. Dit wilt zeggen door verwaarlozing van de dynamica van de elektrische spoel, stabielere gedrag kan bekomen worden bij de frequenties in de buurt van de M_s voor elke versterking.

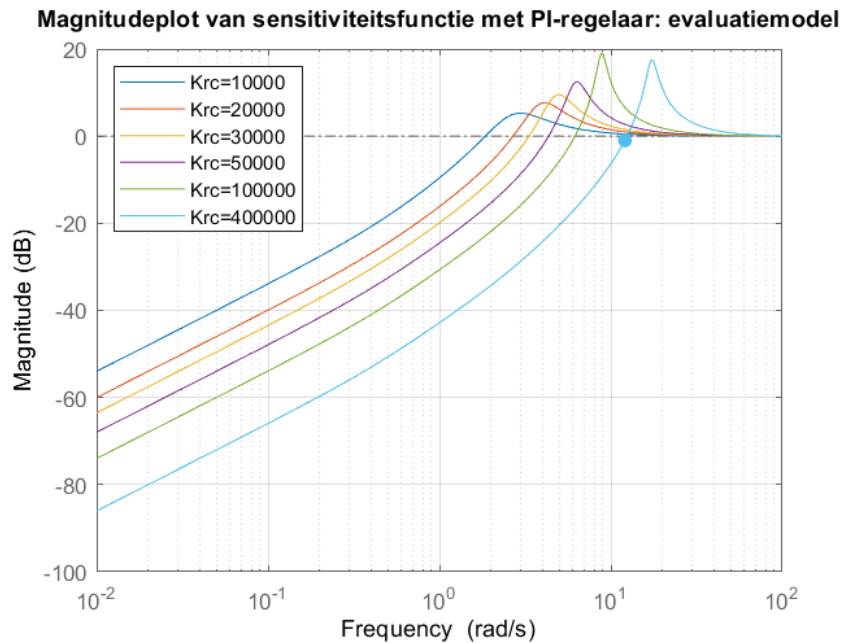


Figuur 31: Magnitudeplot van de sensitiviteitsfunctie met P-regelaar voor het ontwerpmodel

3.1.3.3 PI-regelaar: evaluatiemodel

Het verschil met het evaluatiemodel van de P-regelaar voor de PI-regelaar is dat de sensitiviteit blijft dalen bij dalende frequenties. Dit wilt zeggen dat de PI-regelaar voor dalende frequenties de

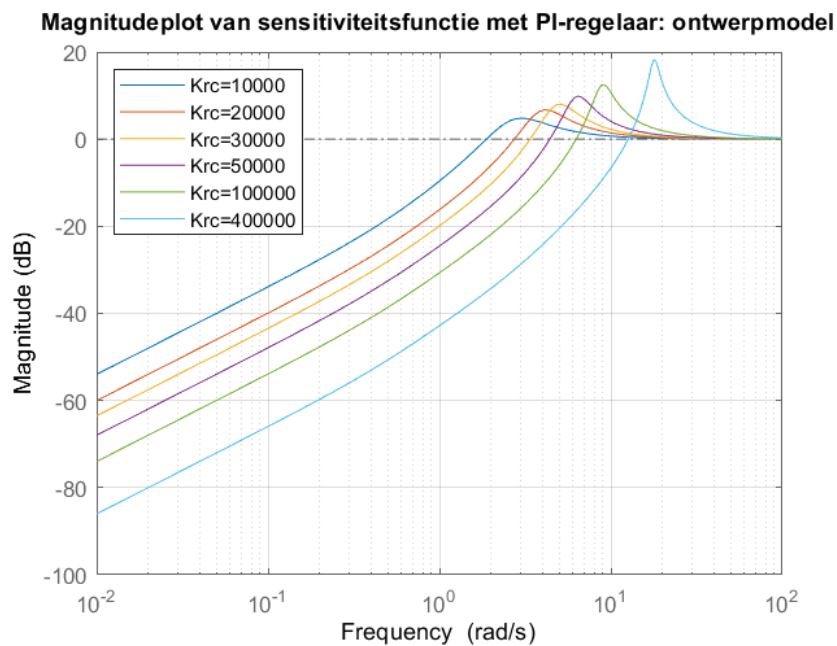
procesruis beter kan onderdrukken als de P-regelaar en bijgevolg het referentie signaal beter kan volgen. Merkwaardig is dat een $K_{rc} = 400000$, de M_s lichtjes lager is dan voor een $K_{rc} = 100000$. Dus voor frequenties nabij de M_s zal het systeem met een hogere K_{rc} net iets stabielere zijn dan met een lagere K_{rc} waarde.



Figuur 32: Magnitudeplot van de sensitiviteitsfunctie met PI-regelaar voor het evaluatiemodel

3.1.3.4 PI-regelaar: ontwerpmodel

Dezelfde dalende trend voor lagere frequenties kan worden geobserveerd voor het ontwerpmodel.

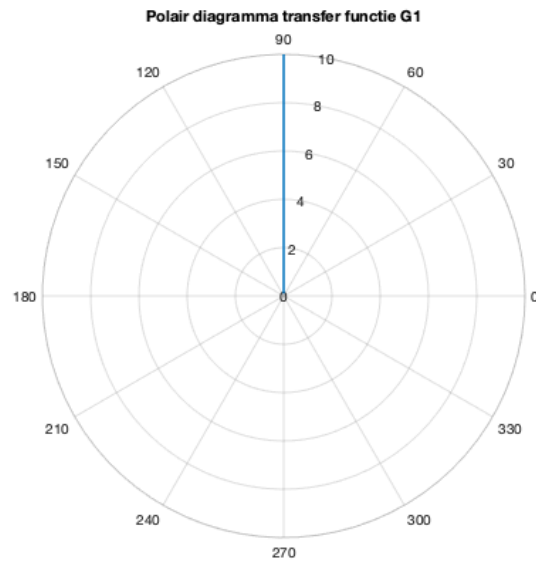


Figuur 33: Magnitudeplot van de sensitiviteitsfunctie met PI-regelaar voor het ontwerpmodel

3.2 Pooldiagramma

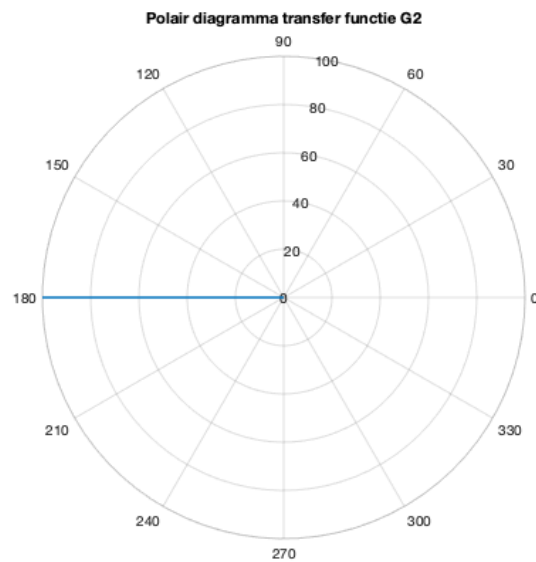
Een Bode-diagramma kan worden aangewend om de frequentieresponsie van een lineair systeem dynamisch weer te geven. Het nadeel van een Bode-diagramma is echter dat het is opgesplitst in twee grafieken: de magnitudeplot en de faseplot. De twee kunnen echter samengebracht worden in één grafiek, een pooldiagramma. Van de onderstaande transfersfuncties werd de biodiagramma berekend met behulp van Matlab.

3.2.1 $G_1(s) = s$



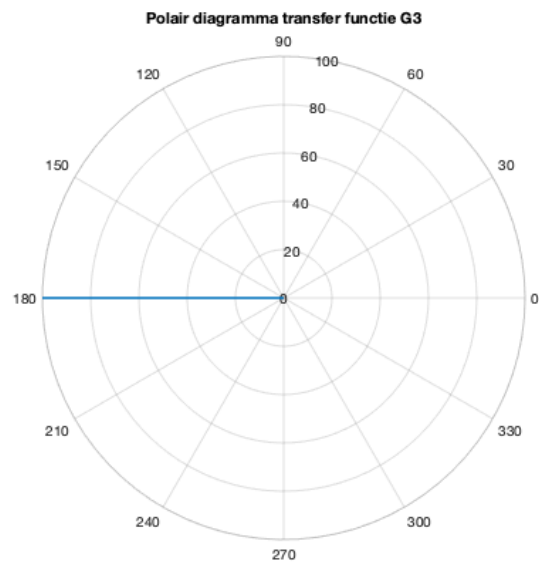
Figuur 34: Polair diagramma van transferfunctie 1

3.2.2 $G_2(s) = s^2$



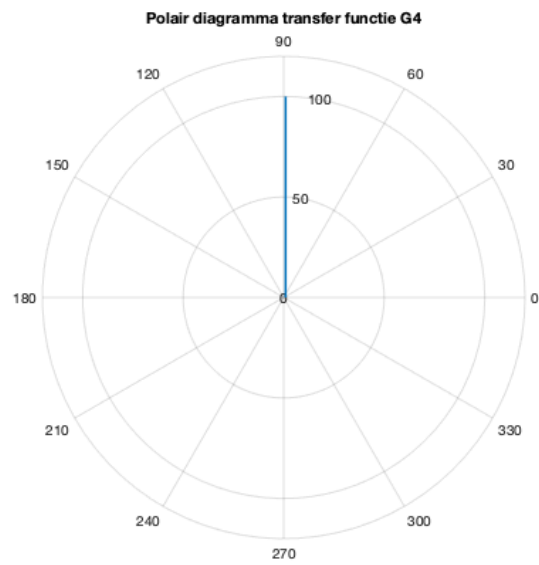
Figuur 35: Polair diagramma van transferfunctie 2

3.2.3 $G_3(s) = \frac{1}{s^2}$



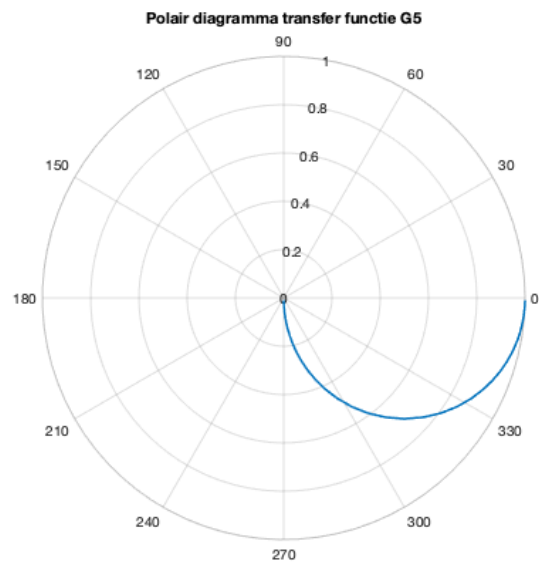
Figuur 36: Polair diagramma van transferfunctie 3

3.2.4 $G_4(s) = 1 + \tau s$



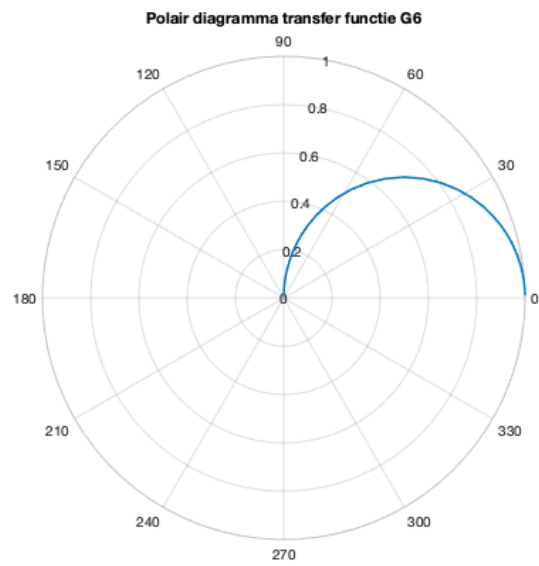
Figuur 37: Polair diagramma van transferfunctie 4

3.2.5 $G_5(s) = \frac{1}{1+\tau s}$



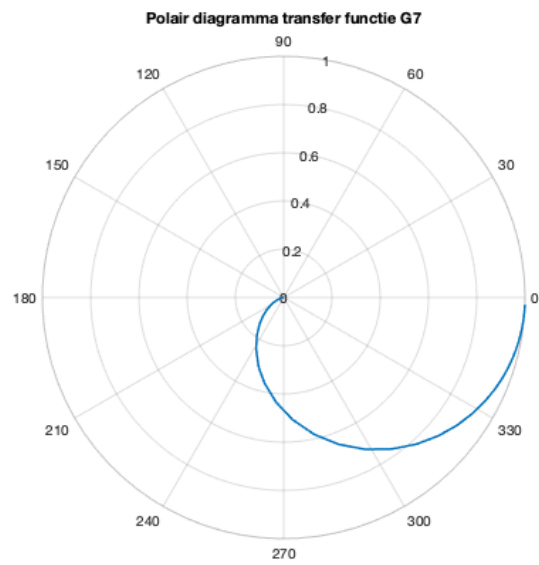
Figuur 38: Polair diagramma van transferfunctie 5

3.2.6 $G_6(s) = \frac{\tau s}{1+\tau s}$



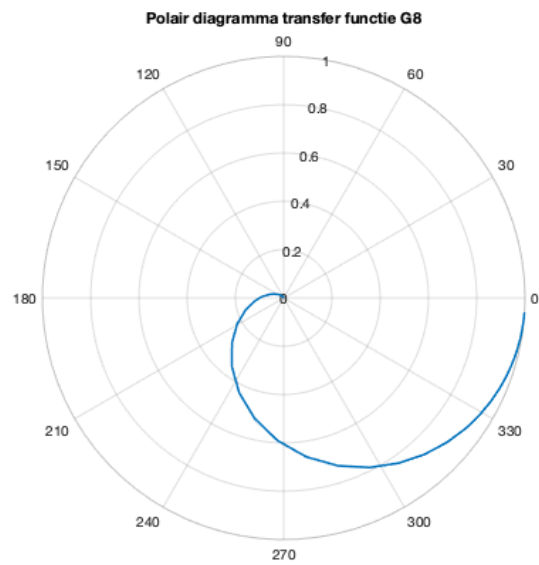
Figuur 39: Polair diagramma van transferfunctie 6

3.2.7 $G_7(s) = \frac{1}{(1+\tau_1 s)(1+\tau_2 s)}$



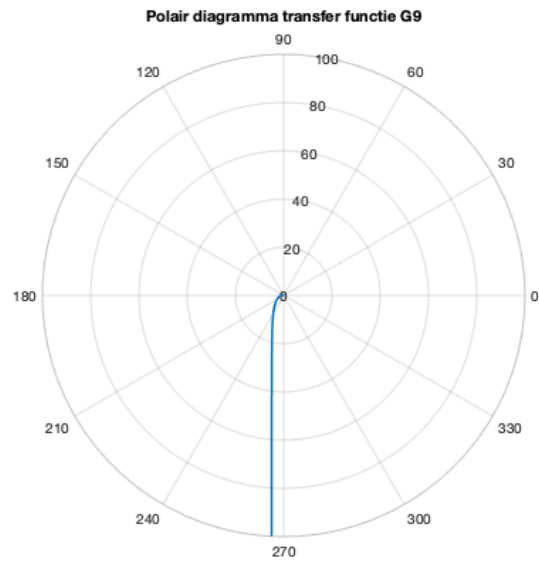
Figuur 40: Polair diagramma van transferfunctie 7

3.2.8 $G_8(s) = \frac{1}{(1+\tau_1 s)(1+\tau_2 s)(1+\tau_3 s)}$



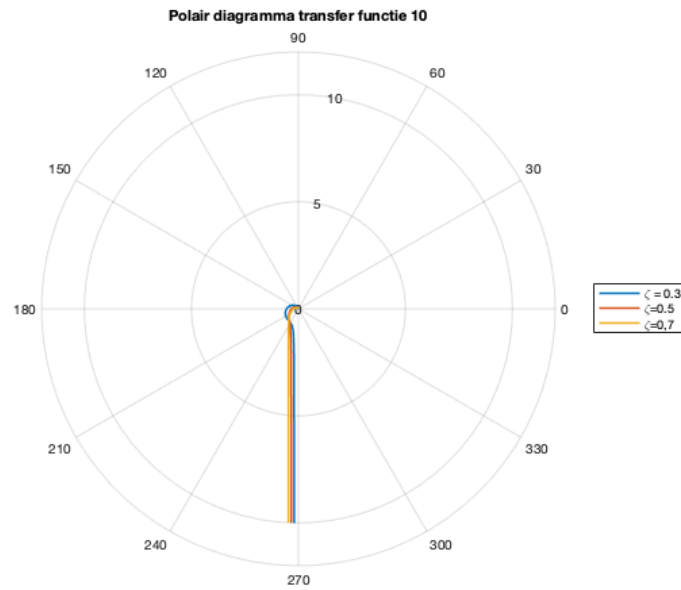
Figuur 41: Polair diagramma van transferfunctie 8

3.2.9 $G_9(s) = \frac{1+\tau_1 s}{s(1+\tau_2 s)(1+\tau_3 s)}$



Figuur 42: Polair diagramma van transferfunctie 9

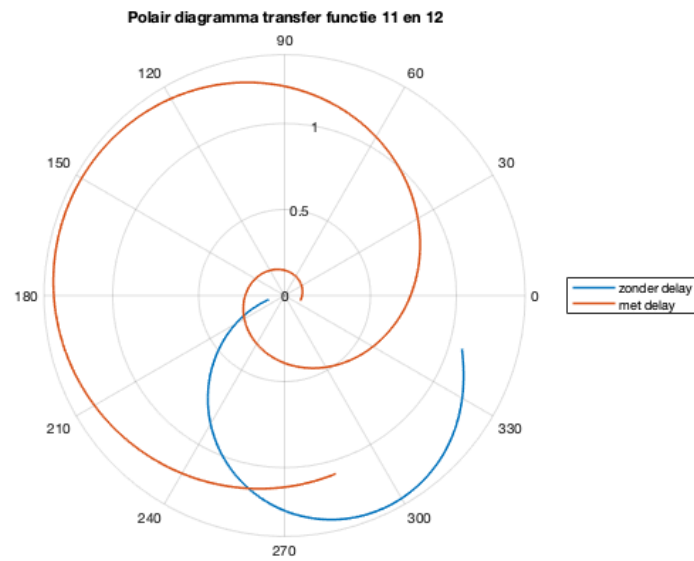
3.2.10 $G_{10}(s) = \frac{\omega_n^2}{s(s^2 + 2\zeta\omega_n s + \omega_n^2)}$



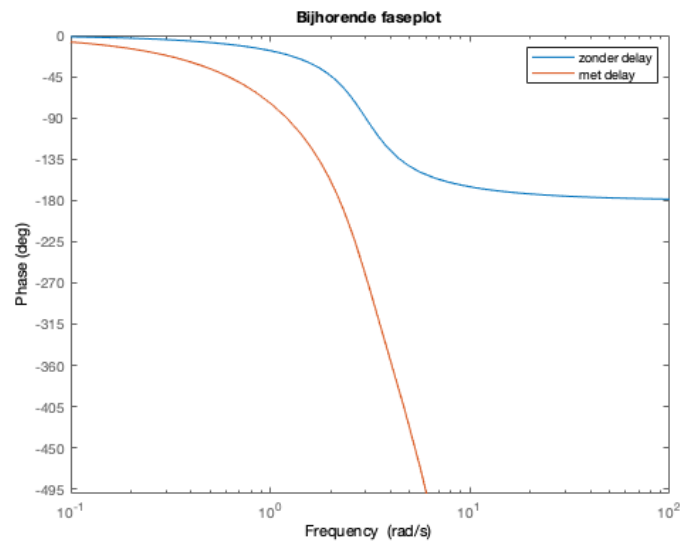
Figuur 43: Polair diagramma van transferfunctie 10

3.3 Dode tijd pooldiagramma

3.3.1 $G_{11}(s) = \frac{\omega_n^2}{(s^2 + 2\zeta\omega_n s + \omega_n^2)}$ en $G_{12}(s) = \frac{\omega_n^2 e^{-sT_d}}{(s^2 + 2\zeta\omega_n s + \omega_n^2)}$



Figuur 44: Polair diagramma van transferfunctie 11 en 12



Figuur 45: Faseplot bijhorende bij transferfunctie 11 en 12

4 Matlab code

```
1 %% Portfolio: Identificatie en controle van biotechnische processen
2
3 %% Simulatie van het dynamisch gedrag van de soleno deklep
   zonder positieregeling (zonder negatieve terugkoppeling)
4 close all
5 clear all
6 clc
7 % Parameterwaarden voor de soleno deklep
8 Cd = 0.64;
9 da1 = 0.05;    %[m]
10 Ps = 200000;   %[Pa]
11 rho = 1000;    %[kg/m^3]
12 m = 0.125;     %[kg]
13 k = 0.20;      %[N/m]
14 L = 0.06;      %[H]
15 R = 4;         %[Ohm]
16 Kc = 4*10^-4;  %[N/A]
17 c = [0.4 0.15 0.15]; %[Ns/m]
18 Ke = [0 0 500]; %[Vs/m]
19 Ca1 = Cd*pi*da1*sqrt(Ps*(2/rho));
20
21 % Toestandsvorm: klepstand voor zowel evaluatie- als ontwerpmodel
22 figure(1)
23 xlabel('Tijd (s)')
24 ylabel('Klepstand (m)')
25 title('Klepstand van de soleno deklep zonder positieregelaar')
26 t1 = 0:0.001:10; %[s]
27 vin = [zeros(1,(length(t1)-1)*0.2) 4*ones(1,((length(t1)-1)*0.8)+1)
   ]; %[V]
28 vruis = [-1*ones(1,length(t1))]; %[V]
29 v = vin + vruis; %[V]
30 for i = 1:3 %for-loop voor evaluatiemodel
31     A = [0 1 0; -k/m -c(i)/m Kc/m; 0 -Ke(i)/L -R/L]; %
       Toestandsmatrix
32     B = [0;0;1/L]; %Inputmatrix
33     C = [1 0 0; Ca1 0 0]; %Outputmatrix
34     D = []; %Doorkoppelmatrix
35     sys1 = ss(A,B,C,D);
36     [y,t1]= lsim(sys1,v,t1);
37     hold on
38     plot(t1,y(:,1))
39     P_evaluatie{i} = pole(sys1);
40 end
41 for i=1:3 %for-loop voor ontwerpmodel
42     E = [0 1; -k/m -((Kc*Ke(i))/(m*R))-(c(i)/m)]; %Toestandsmatrix
43     F = [0;Kc/(m*R)]; %Inputmatrix
44     G = [1 0 ; Ca1 0 ]; %Outputmatrix
45     H = []; %Doorkoppelmatrix
46     sys2 = ss(E,F,G,H);
47     [Y,t1]= lsim(sys2,v,t1);
48     hold on
49     plot(t1,Y(:,1),'--')
50     P_ontwerp{i} = pole(sys2);
51 end
52 legend('evaluatie: c=0.4 Ke=0','evaluatie: c=0.15 Ke=0','evaluatie:
   c=0.15 Ke=500','ontwerp: c=0.4 Ke=0','ontwerp: c=0.15 Ke=0','
   ontwerp: c=0.15 Ke=500','Location','southeast')
53
```

```

54 % Toestandsvorm: Debiet voor zowel evaluatie- als ontwerpmodel
55 figure(2)
56 xlabel('Tijd (s)')
57 ylabel('Debiet (m^3/s)')
58 title('Debiet zonder positieregelaar')
59 t1 = 0:0.001:10; %[s]
60 vin = [zeros(1,(length(t1)-1)*0.2) 4*ones(1,((length(t1)-1)*0.8)+1)
61 ]; %[V]
61 vruis = [-1*ones(1,length(t1))]; %[V]
62 v = vin + vruis; %[V]
63 for i = 1:3 %for-loop voor evaluatiemodel
64     A = [0 1 0; -k/m -c(i)/m Kc/m; 0 -Ke(i)/L -R/L]; %
        Toestandsmatrix
65     B = [0;0;1/L]; %Inputmatrix
66     C = [1 0 0; Ca1 0 0]; %Outputmatrix
67     D = []; %Doorkoppelmatrix
68     sys1 = ss(A,B,C,D);
69     [y,t1]= lsim(sys1,v,t1);
70     hold on
71     plot(t1,y(:,2)+ 0.003*Ca1)
72 end
73 for i=1:3 %for-loop voor ontwerpmodel
74     E = [0 1; -k/m -((Kc*Ke(i))/(m*R))-(c(i)/m)]; %Toestandsmatrix
75     F = [0;Kc/(m*R)]; %Inputmatrix
76     G = [1 0 ; Ca1 0 ]; %Outputmatrix
77     H = []; %Doorkoppelmatrix
78     sys2 = ss(E,F,G,H);
79     [Y,t1]= lsim(sys2,v,t1);
80     hold on
81     plot(t1,Y(:,2)+ 0.003*Ca1, '--')
82 end
83 legend('evaluatie: c=0.4 Ke=0','evaluatie: c=0.15 Ke=0','evaluatie:
        c=0.15 Ke=500','ontwerp: c=0.4 Ke=0','ontwerp: c=0.15 Ke=0','
        ontwerp: c=0.15 Ke=500','Location','southeast')
84 %% Simulatie van het dynamisch gedrag van de soleno dklep met
        positieregeling voor de mechanische spoel: P-regelaar
85 close all
86 clear all
87 clc
88 % Parameterwaarden voor de soleno dklep
89 Cd = 0.64;
90 da1 = 0.05; %[m]
91 Ps = 200000; %[Pa]
92 rho = 1000; %[kg/m^3]
93 m = 0.125; %[kg]
94 k = 0.20; %[N/m]
95 L = 0.06; %[H]
96 R = 4; %[Ohm]
97 Kc = 4*10^-4; %[N/A]
98 c = 0.4; %[Ns/m]
99 Ke = 0; %[Vs/m]
100 Ca1 = Cd*pi*da1*sqrt(Ps*(2/rho));
101 Krc = [10000 20000 30000 50000 100000 400000]; %[V/m] Variabele
        versterkingsparameter van de P-regelaar
102
103 % Toestandsvorm: klepstand voor zowel evaluatie- als ontwerpmodel
104 t1 = 0:0.001:10; %[s]
105 vruis = [-1*ones(1,length(t1))];
106 xref = [zeros(1,(length(t1)-1)*0.2) 0.002*ones(1,((length(t1)-1)
        *0.8)+1)]; %[m] referentiewaarde van de klep (gewenste positie
        van de soleno dklep)%[V]

```

```

107 v = [xref; vruis]; %[V]
108 for i = 1:6 %for-loop voor evaluatiemodel
109     A = [0 1 0; -k/m -c/m Kc/m; -Krc(i)/L -Ke/L -R/L]; %
        Toestandsmatrix
110     B = [0 0; 0 0; Krc(i)/L 1/L]; %Inputmatrix
111     C = [1 0 0]; %Outputmatrix
112     D = []; %Doorkoppelmatrix
113     sys1 = ss(A,B,C,D);
114     [y,t1]= lsim(sys1,v,t1);
115     if i == 6
116         figure(2)
117         plot(t1,y(:,1))
118         legend('evaluatie: Krc=400000','Location','southwest')
119     else
120         figure(1)
121         plot(t1,y(:,1))
122         hold on
123     end
124     P_evaluatie{i} = pole(sys1);
125 end
126 for i=1:6 %for-loop voor ontwerpmodel
127     E = [0 1; (-k/m)-((Kc*Krc(i))/(m*R)) -((Kc*Ke)/(m*R))-(c/m)]; %
        Toestandsmatrix
128     F = [0 0; (Kc*Krc(i))/(m*R) Kc/(m*R)]; %Inputmatrix
129     G = [1 0]; %Outputmatrix
130     H = []; %Doorkoppelmatrix
131     sys2 = ss(E,F,G,H);
132     [Y,t1]= lsim(sys2,v,t1);
133     if i == 6
134         figure(3)
135         plot(t1,Y(:,1),'--')
136         legend('ontwerp: Krc=400000','Location','southeast')
137     else
138         figure(1)
139         plot(t1,Y(:,1),'--')
140         hold on
141     end
142     P_ontwerp{i} = pole(sys2);
143 end
144 figure(1)
145 xlabel('Tijd (s)')
146 ylabel('Klepstand (m)')
147 title('Klepstand van de soleno dklep met P-regelaar')
148 legend({'evaluatie: Krc=10000','evaluatie: Krc=20000','evaluatie:
        Krc=30000','evaluatie: Krc=50000','evaluatie: Krc=100000','
        ontwerp: Krc=10000','ontwerp: Krc=20000','ontwerp: Krc=30000','
        ontwerp: Krc=50000','ontwerp: Krc=100000'},'Location','southeast
        ','FontSize',8)
149 figure(2)
150 title('Klepstand van de soleno dklep met P-regelaar')
151 xlabel('Tijd (s)')
152 ylabel('Klepstand (m)')
153 figure(3)
154 title('Klepstand van de soleno dklep met P-regelaar')
155 xlabel('Tijd (s)')
156 ylabel('Klepstand (m)')
157 %% Simulatie van het dynamisch gedrag van de soleno dklep met
        positieregeling voor de mechanische spoel: PI-regelaar
158 close all
159 clear all
160 clc

```

```

161 % Parameterwaarden voor de soleno  dklep
162 Cd = 0.64;
163 da1 = 0.05;    %[m]
164 Ps = 200000;   %[Pa]
165 rho = 1000;    %[kg/m^3]
166 m = 0.125;     %[kg]
167 k = 0.20;      %[N/m]
168 L = 0.06;      %[H]
169 R = 4;          %[Ohm]
170 Kc = 4*10^-4;  %[N/A]
171 c = 0.4;       %[Ns/m]
172 Ke = 0;        %[Vs/m]
173 Ca1 = Cd*pi*da1*sqrt(Ps*(2/rho));
174 Krc = 20000;   %[V/m]
175 Ti = [0.5 1 1.5 2]; %[s] integratietijd
176
177 % Toestandsvorm: klepstand voor zowel evaluatie- als ontwerpmodel
178 figure(1)
179 xlabel('Tijd (s)')
180 ylabel('Klepstand (m)')
181 title('Klepstand van de soleno  dklep met PI-regelaar')
182 t1 = 0:0.001:10; %[s]
183 vruis = [-1*ones(1,length(t1))];
184 xref = [zeros(1,(length(t1)-1)*0.2) 0.002*ones(1,((length(t1)-1)
    *0.8)+1)]; %[m] referentiewaarde van de klep (gewenste positie
    van de soleno  dklep)%[V]
185 v = [xref; vruis]; %[V]
186 for i = 1:4 %for-loop voor evaluatiemodel
187     A = [0 1 0 0; -k/m -c/m Kc/m 0; 0 -Ke/L -R/L 1/L; -Krc/Ti(i) -
        Krc 0 0]; %Toestandsmatrix
188     B = [0 0; 0 0; 0 1/L; Krc/Ti(i) 0]; %Inputmatrix
189     C = [1 0 0 0]; %Outputmatrix
190     D = []; %Doorkoppelmatrix
191     sys1 = ss(A,B,C,D);
192     [y,t1] = lsim(sys1,v,t1);
193     hold on
194     plot(t1,y(:,1))
195     P_evaluatie{i} = pole(sys1);
196 end
197
198 for i=1:4 %for-loop voor ontwerpmodel
199     E = [0 1 0; (-k/m) -((Kc*Ke)/(m*R))-(c/m) Kc/(m*R); -Krc/Ti(i)
        -Krc 0]; %Toestandsmatrix
200     F = [0 0; 0 Kc/(m*R); Krc/Ti(i) 0]; %Inputmatrix
201     G = [1 0 0]; %Outputmatrix
202     H = []; %Doorkoppelmatrix
203     sys2 = ss(E,F,G,H);
204     [Y,t1] = lsim(sys2,v,t1);
205     hold on
206     plot(t1,Y(:,1),'--')
207     P_ontwerp{i} = pole(sys2);
208 end
209 legend('evaluatie: Ti=0.5','evaluatie: Ti=1','evaluatie: Ti=1.5','
    evaluatie: Ti=2','ontwerp: Ti=0.5','ontwerp: Ti=1','ontwerp: Ti
    =1.5','ontwerp: Ti=2','Location','southeast')
210
211 %% Poolbanen van 4 verschillende transferfuncties
212 close all
213 clear all
214 clc
215

```

```

216 % Transferfunctie 1
217 G1 = tf([1 1],[1 4 6 4 0]);
218 % plot van polen en nulpunten
219 figure(1)
220 pzplot(G1)
221 title('Polen (x) en nulpunten (o) transferfunctie 1')
222 xlabel('Re le as')
223 ylabel('Imaginaire as')
224 % plot van poolbanen
225 figure(2)
226 rlocus(G1)
227 xlabel('Re le as')
228 ylabel('Imaginaire as')
229 title('Poolbanen van transferfunctie 1')
230
231 % Transferfunctie 2
232 G2 = tf([1],[1 4]);
233 % plot van polen en nulpunten
234 figure(3)
235 pzplot(G2)
236 title('Polen (x) en nulpunten (o) transferfunctie 2')
237 xlabel('Re le as')
238 ylabel('Imaginaire as')
239 % plot van poolbanen
240 figure(4)
241 rlocus(G2)
242 xlabel('Re le as')
243 ylabel('Imaginaire as')
244 title('Poolbanen van transferfunctie 2')
245
246 % Transferfunctie 3
247 G3 = tf([1],[1 40 300 0]);
248 % plot van polen en nulpunten
249 figure(5)
250 pzplot(G3)
251 title('Polen (x) en nulpunten (o) transferfunctie 3')
252 xlabel('Re le as')
253 ylabel('Imaginaire as')
254 % plot van poolbanen
255 figure(6)
256 rlocus(G3)
257 xlabel('Re le as')
258 ylabel('Imaginaire as')
259 title('Poolbanen van transferfunctie 3')
260
261 % Transferfunctie 4
262 G4 = tf([1 3],[1 3 2]);
263 % plot van polen en nulpunten
264 figure(7)
265 pzplot(G4)
266 title('Polen (x) en nulpunten (o) transferfunctie 4')
267 xlabel('Re le as')
268 ylabel('Imaginaire as')
269 % plot van poolbanen
270 figure(8)
271 rlocus(G4)
272 xlabel('Re le as')
273 ylabel('Imaginaire as')
274 title('Poolbanen van transferfunctie 4')
275 %% Poolbanen van de gesloten-kring transferfunctie van de
    soleno dklep in functie van de versterking Krc

```

```

276 close all
277 clear all
278 clc
279 % Parameterwaarden voor de soleno dklep
280 Cd = 0.64;
281 da1 = 0.05; %[m]
282 Ps = 200000; %[Pa]
283 rho = 1000; %[kg/m^3]
284 m = 0.125; %[kg]
285 k = 0.20; %[N/m]
286 L = 0.06; %[H]
287 R = 4; %[Ohm]
288 Kc = 4*10^-4; %[N/A]
289 c = 0.4; %[Ns/m]
290 Ke = 0; %[Vs/m]
291
292 % Gesloten-kring systeem met P-regelaar: evaluatiemodel
293 t1 = 0:0.001:10; %[s]
294 vruis = [-1*ones(1,length(t1))];
295 xref = [zeros(1,(length(t1)-1)*0.2) 0.002*ones(1,((length(t1)-1)
    *0.8)+1)]; %[m] referentiewaarde van de klep (gewenste positie
    van de soleno dklep)%[V]
296 v = [xref; vruis]; %[V]
297 A = [0 1 0; -k/m -c/m Kc/m; 0 -Ke/L -R/L]; %Toestandsmatrix
298 B = [0;0;1/L]; %Inputmatrix
299 C = [1 0 0]; %Outputmatrix
300 D = []; %Doorkoppelmatrix
301 sys1 = ss(A,B,C,D);
302 G1 = tf(sys1); %Transferfunctie van het proces: G1 = Gp
303 Polen{1} = pole(sys1); %Berekent de polen van G1 (zijn dezelfde
    polen voor Go (open-kring)) en voor Krc 0 = zijn dit de gesloten
    -kring polen -> startpunten op de poolbaan
304 figure(1)
305 rlocus(G1)
306 xlabel('Re le as')
307 ylabel('Imaginaire as')
308 title('Poolbanen van gesloten-kring systeem met P-regelaar:
    evaluatiemodel')
309 figure(2)
310 rlocus(G1)
311 xlim([-4,1])
312 ylim([-20,20])
313 xlabel('Re le as')
314 ylabel('Imaginaire as')
315 title('Poolbanen van gesloten-kring systeem met P-regelaar:
    evaluatiemodel')
316
317 % Gesloten-kring systeem met P-regelaar: ontwerpmodel
318 t1 = 0:0.001:10; %[s]
319 vruis = [-1*ones(1,length(t1))];
320 xref = [zeros(1,(length(t1)-1)*0.2) 0.002*ones(1,((length(t1)-1)
    *0.8)+1)]; %[m] referentiewaarde van de klep (gewenste positie
    van de soleno dklep)%[V]
321 v = [xref; vruis]; %[V]
322 A = [0 1; -k/m -((Kc*Ke)/(m*R))-(c/m)]; %Toestandsmatrix
323 B = [0;Kc/(m*R)]; %Inputmatrix
324 C = [1 0]; %Outputmatrix
325 D = []; %Doorkoppelmatrix
326 sys2 = ss(A,B,C,D);
327 G2 = tf(sys2); %Transferfunctie van het proces: G2 = Gp
328 Polen{2} = pole(sys2);

```

```

329 figure(3)
330 rlocus(G2)
331 xlabel('Re le as')
332 ylabel('Imaginaire as')
333 title('Poolbanen van gesloten-kring systeem met P-regelaar:
        ontwerpmodel')
334
335 % Gesloten-kring systeem met PI-regelaar: evaluatiemodel
336 t1 = 0:0.001:10; %[s]
337 vruis = [-1*ones(1,length(t1))];
338 xref = [zeros(1,(length(t1)-1)*0.2) 0.002*ones(1,((length(t1)-1)
        *0.8)+1)]; %[m] referentiewaarde van de klep (gewenste positie
        van de soleno dklep)%[V]
339 v = [xref; vruis]; %[V]
340 A = [0 1 0; -k/m -c/m Kc/m; 0 -Ke/L -R/L]; %Toestandsmatrix
341 B = [0;0;1/L]; %Inputmatrix
342 C = [1 0 0]; %Outputmatrix
343 D = []; %Doorkoppelmatrix
344 sys3 = ss(A,B,C,D);
345 G3 = tf([1 1],[1 0])*tf(sys3); %Transferfunctie van het proces
        vermenigvuldigd met transferfunctie van de PI-regelaar zonder
        Krc zodat Go = Krc*(1/(Ti*s))*Gp = Krc*G3
346 Polen{3} = pole(sys3);
347 figure(4)
348 rlocus(G3)
349 xlabel('Re le as')
350 ylabel('Imaginaire as')
351 title('Poolbanen van gesloten-kring systeem met PI-regelaar:
        evaluatiemodel')
352 figure(5)
353 rlocus(G3)
354 xlim([-4,1])
355 ylim([-15,15])
356 xlabel('Re le as')
357 ylabel('Imaginaire as')
358 title('Poolbanen van gesloten-kring systeem met P-regelaar:
        evaluatiemodel')
359
360 % Gesloten-kring systeem met PI-regelaar: ontwerpmodel
361 t1 = 0:0.001:10; %[s]
362 vruis = [-1*ones(1,length(t1))];
363 xref = [zeros(1,(length(t1)-1)*0.2) 0.002*ones(1,((length(t1)-1)
        *0.8)+1)]; %[m] referentiewaarde van de klep (gewenste positie
        van de soleno dklep)%[V]
364 v = [xref; vruis]; %[V]
365 A = [0 1; -k/m -((Kc*Ke)/(m*R))-(c/m)]; %Toestandsmatrix
366 B = [0;Kc/(m*R)]; %Inputmatrix
367 C = [1 0]; %Outputmatrix
368 D = []; %Doorkoppelmatrix
369 sys4 = ss(A,B,C,D);
370 G4 = tf([1 1],[1 0])*tf(sys4); %Transferfunctie van het proces
        vermenigvuldigd met transferfunctie van de PI-regelaar zonder
        Krc zodat Go = Krc*(1/(Ti*s))*Gp = Krc*G4
371 Polen{4} = pole(sys4);
372 figure(6)
373 rlocus(G4)
374 xlabel('Re le as')
375 ylabel('Imaginaire as')
376 title('Poolbanen van gesloten-kring systeem met PI-regelaar:
        ontwerpmodel')
377

```

```

378 %% Bodediagramma's van de transferfuncties van de soleno dklep:
    evaluatiemodel
379 close all
380 clear all
381 clc
382 % Parameterwaarden voor de soleno dklep
383 Cd = 0.64;
384 da1 = 0.05;    %[m]
385 Ps = 200000;   %[Pa]
386 rho = 1000;    %[kg/m^3]
387 m = 0.125;     %[kg]
388 k = 0.20;      %[N/m]
389 L = 0.06;      %[H]
390 R = 4;         %[Ohm]
391 Kc = 4*10^-4;  %[N/A]
392 c = 0.4;       %[Ns/m]
393 Ke = 0;        %[Vs/m]
394 Krc = [10000 20000 30000 50000 100000 400000]; %[V/m] Variabele
    versterkingsparameter van de P-regelaar
395 Ti = 1;        %[s] integratietijd
396
397 % Evaluatiemodel
398 TF_evP = cell(1,3); % Opslaan van de transferfuncties in een cell
    voor P-regelaar
399 TF_evPI = cell(1,3); % Opslaan van de transferfuncties in een cell
    voor PI-regelaar
400 A = [0 1 0; -k/m -c/m Kc/m; 0 -Ke/L -R/L]; %Toestandsmatrix
401 B = [0;0;1/L]; %Inputmatrix
402 C = [1 0 0]; %Outputmatrix
403 D = []; %Doorkoppelmatrix
404 sys1 = ss(A,B,C,D);
405 Gp = tf(sys1);
406 for i = 1:length(Krc)
407     Gr_P = tf([Krc(i)],[1]);
408     GO_P = Gp*Gr_P;
409     [Gm_evP(i),Pm_evP(i),Wg_evP(i),Wp_evP(i)] = margin(GO_P);
410     TF_evP{1,i} = GO_P;
411     Gt_P = GO_P/(1+GO_P);
412     TF_evP{2,i} = Gt_P;
413     S_P= 1/(1+GO_P);
414     TF_evP{3,i} = S_P;
415     s = tf('s');
416     Gr_PI = Krc(i)*(1+(1/(Ti*s)));
417     GO_PI = Gp*Gr_PI;
418     [Gm_evPI(i),Pm_evPI(i),Wg_evPI(i),Wp_evPI(i)] = margin(GO_PI);
419     TF_evPI{1,i} = GO_PI;
420     Gt_PI = GO_PI/(1+GO_PI);
421     TF_evPI{2,i} = Gt_PI;
422     S_PI= 1/(1+GO_PI);
423     TF_evPI{3,i} = S_PI;
424 end
425
426 % Open-kring transferfunctie: evaluatie en P-regelaar
427 figure(1)
428 hold on
429 for i = 1:length(Krc)
430     margin(TF_evP{1,i})
431 end
432 grid on
433 title('Bode-diagramma van open-kring transferfunctie met P-regelaar
    : evaluatiemodel')

```



```

434 legend({'Krc=10000','Krc=20000','Krc=30000','Krc=50000','Krc=100000',
         ', 'Krc=400000'}, 'Location', 'southwest', 'FontSize', 8)
435
436 % Gesloten-kring transferfunctie: evaluatie en P-regelaar
437 figure(2)
438 hold on
439 for i = 1:length(Krc)
440     bodemag(TF_evP{2,i})
441 end
442 grid on
443 title('Magnitudeplot van gesloten-kring transferfunctie met P-
         regelaar: evaluatiemodel')
444 legend('Krc=10000','Krc=20000','Krc=30000','Krc=50000','Krc=100000',
         ', 'Krc=400000', 'Location', 'southwest')
445
446 % Sensitiviteitsfunctie: evaluatie en P-regelaar
447 figure(3)
448 hold on
449 for i = 1:length(Krc)
450     bodemag(TF_evP{3,i})
451 end
452 grid on
453 title('Magnitudeplot van sensitiviteitsfunctie met P-regelaar:
         evaluatiemodel')
454 legend('Krc=10000','Krc=20000','Krc=30000','Krc=50000','Krc=100000',
         ', 'Krc=400000', 'Location', 'southeast')
455
456 % Open-kring transferfunctie: evaluatie en PI-regelaar
457 figure(4)
458 hold on
459 for i = 1:length(Krc)
460     margin(TF_evPI{1,i})
461 end
462 grid on
463 title('Bode-diagramma van open-kring transferfunctie met PI-
         regelaar: evaluatiemodel')
464 legend({'Krc=10000','Krc=20000','Krc=30000','Krc=50000','Krc=100000',
         ', 'Krc=400000'}, 'Location', 'southwest', 'FontSize', 8)
465
466 % Gesloten-kring transferfunctie: evaluatie en PI-regelaar
467 figure(5)
468 hold on
469 for i = 1:length(Krc)
470     bodemag(TF_evPI{2,i})
471 end
472 grid on
473 title('Magnitudeplot van gesloten-kring transferfunctie met PI-
         regelaar: evaluatiemodel')
474 legend('Krc=10000','Krc=20000','Krc=30000','Krc=50000','Krc=100000',
         ', 'Krc=400000', 'Location', 'southwest')
475
476 % Sensitiviteitsfunctie: evaluatie en PI-regelaar
477 figure(6)
478 hold on
479 for i = 1:length(Krc)
480     bodemag(TF_evPI{3,i})
481 end
482 grid on
483 title('Magnitudeplot van sensitiviteitsfunctie met PI-regelaar:
         evaluatiemodel')

```

```

484 legend('Krc=10000','Krc=20000','Krc=30000','Krc=50000','Krc=100000'
         , 'Krc=400000','Location','southeast')
485
486 %% Bodediagramma's van de transferfuncties van de soleno dklep:
    ontwerpmodel
487 close all
488 %clear all
489 %clc
490 % Parameterwaarden voor de soleno dklep
491 Cd = 0.64;
492 da1 = 0.05;    %[m]
493 Ps = 200000;   %[Pa]
494 rho = 1000;    %[kg/m^3]
495 m = 0.125;     %[kg]
496 k = 0.20;      %[N/m]
497 L = 0.06;      %[H]
498 R = 4;         %[Ohm]
499 Kc = 4*10^-4;  %[N/A]
500 c = 0.4;       %[Ns/m]
501 Ke = 0;        %[Vs/m]
502 Krc = [10000 20000 30000 50000 100000 400000]; %[V/m] Variabele
    versterkingsparameter van de P-regelaar
503 Ti = 1;        %[s] integratietijd
504
505 % Ontwerpmodel
506 TF_ontP = cell(1,3); % Opslaan van de transferfuncties in een cell
    voor P-regelaar
507 TF_ontPI = cell(1,3); % Opslaan van de transferfuncties in een cell
    voor PI-regelaar
508 E = [0 1; -k/m -((Kc*Ke)/(m*R))-(c/m)]; %Toestandsmatrix
509 F = [0;Kc/(m*R)]; %Inputmatrix
510 G = [1 0]; %Outputmatrix
511 H = []; %Doorkoppelmatrix
512 sys2 = ss(E,F,G,H);
513 Gp = tf(sys2);
514 for i = 1:length(Krc)
515     Gr_P = tf([Krc(i)],[1]);
516     GO_P = Gp*Gr_P;
517     [Gm_ontP(i),Pm_ontP(i),Wg_ontP(i),Wp_ontP(i)] = margin(GO_P);
518     TF_ontP{1,i} = GO_P;
519     Gt_P = GO_P/(1+GO_P);
520     TF_ontP{2,i} = Gt_P;
521     S_P= 1/(1+GO_P);
522     TF_ontP{3,i} = S_P;
523     s = tf('s');
524     Gr_PI = Krc(i)*(1+(1/(Ti*s)));
525     GO_PI = Gp*Gr_PI;
526     [Gm_ontPI(i),Pm_ontPI(i),Wg_ontPI(i),Wp_ontPI(i)] = margin(
        GO_PI);
527     TF_ontPI{1,i} = GO_PI;
528     Gt_PI = GO_PI/(1+GO_PI);
529     TF_ontPI{2,i} = Gt_PI;
530     S_PI= 1/(1+GO_PI);
531     TF_ontPI{3,i} = S_PI;
532 end
533
534 % Open-kring transferfunctie: ontwerp en P-regelaar
535 figure(1)
536 hold on
537 for i = 1:length(Krc)
538     margin(TF_ontP{1,i})

```

```

539 end
540 grid on
541 title('Bode-diagramma van open-kring transferfunctie met P-regelaar
      : ontwerpmodel')
542 legend({'Krc=10000','Krc=20000','Krc=30000','Krc=50000','Krc=100000'
      ','Krc=400000'},'Location','southwest','FontSize',8)
543
544 % Gesloten-kring transferfunctie: ontwerp en P-regelaar
545 figure(2)
546 hold on
547 for i = 1:length(Krc)
548     bodemag(TF_ontP{2,i})
549 end
550 grid on
551 title('Magnitudeplot van gesloten-kring transferfunctie met P-
      regelaar: ontwerpmodel')
552 legend('Krc=10000','Krc=20000','Krc=30000','Krc=50000','Krc=100000'
      ','Krc=400000','Location','southwest')
553
554 % Sensitiviteitsfunctie: ontwerp en P-regelaar
555 figure(3)
556 hold on
557 for i = 1:length(Krc)
558     bodemag(TF_ontP{3,i})
559 end
560 grid on
561 title('Magnitudeplot van sensitiviteitsfunctie met P-regelaar:
      ontwerpmodel')
562 legend('Krc=10000','Krc=20000','Krc=30000','Krc=50000','Krc=100000'
      ','Krc=400000','Location','southeast')
563
564 % Open-kring transferfunctie: ontwerp en PI-regelaar
565 figure(4)
566 hold on
567 for i = 1:length(Krc)
568     margin(TF_ontPI{1,i})
569 end
570 grid on
571 title('Bode-diagramma van open-kring transferfunctie met PI-
      regelaar: ontwerpmodel')
572 legend({'Krc=10000','Krc=20000','Krc=30000','Krc=50000','Krc=100000'
      ','Krc=400000'},'Location','southwest','FontSize',8)
573
574 % Gesloten-kring transferfunctie: ontwerp en PI-regelaar
575 figure(5)
576 hold on
577 for i = 1:length(Krc)
578     bodemag(TF_ontPI{2,i})
579 end
580 grid on
581 title('Magnitudeplot van gesloten-kring transferfunctie met PI-
      regelaar: ontwerpmodel')
582 legend('Krc=10000','Krc=20000','Krc=30000','Krc=50000','Krc=100000'
      ','Krc=400000','Location','southwest')
583
584 % Sensitiviteitsfunctie: ontwerp en PI-regelaar
585 figure(6)
586 hold on
587 for i = 1:length(Krc)
588     bodemag(TF_ontPI{3,i})
589 end

```

```

590 grid on
591 title('Magnitudeplot van sensitiviteitsfunctie met PI-regelaar:
        ontwerpmodel')
592 legend('Krc=10000','Krc=20000','Krc=30000','Krc=50000','Krc=100000'
        , 'Krc=400000','Location','southeast')
593
594 %% Polair diagramma van transferfuncties
595 close all
596 clear all
597 clc
598
599 tau1 = 1
600 tau2 = 2
601 tau3 = 3
602
603 % transferfuncties definiëren
604 num1 = [1,0]; den1 = [1]; G1=tf(num1,den1); G{1} = G1;
605 num2 = [1,0,0]; den2 = [1]; G2=tf(num2,den2); G{2} = G2;
606 num3 = [1]; den3 = [1,0,0]; G3=tf(num3,den3); G{3} = G3;
607 num4 = [tau1,1]; den4 = [1]; G4=tf(num4,den4); G{4} = G4;
608 num5 = [1]; den5 = [tau1,1]; G5=tf(num5,den5); G{5} = G5;
609 num6 = [tau1,0]; den6 = [tau1,1]; G6=tf(num6,den6); G{6} = G6;
610 num7 = [1]; den7 = [tau1*tau2,(tau1+tau2),1]; G7=tf(num7,den7); G{7}
    = G7;
611 num8 = [1]; den8 = [tau1*tau2*tau3,(tau3*tau1)+(tau3*tau2)+(tau1*
    tau2),tau3+tau1+tau2,1]; G8=tf(num8,den8); G{8} = G8;
612 num9 = [tau1,1]; den9 = [tau2*tau3,(tau2+tau3),1,0]; G9=tf(num8,den9
    ); G{9} = G9;
613
614 Polairdiagrammatransferfunction ={'Polair diagramma transfer
    functie G1','Polair diagramma transfer functie G2','Polair
    diagramma transfer functie G3','Polair diagramma transfer
    functie G4','Polair diagramma transfer functie G5','Polair
    diagramma transfer functie G6','Polair diagramma transfer
    functie G7','Polair diagramma transfer functie G8','Polair
    diagramma transfer functie G9'}
615
616 for i = 1:9
617 [MAG{i}, PHASE{i}]=bode(G{i});
618 PHASE{i} = squeeze(PHASE{i})/180 * pi;
619 MAG {i}= squeeze(MAG{i});
620 end
621
622 for i = 1:9
623 figure
624 polarplot(PHASE{i},MAG{i},'Linewidth',1.5);
625 title (Polairdiagrammatransferfunction{i});
626 end
627
628 % Polair diagramma tf 10 met w=3
629 z = [0.3 0.5 0.7]
630 for i = 1:3
631 G10=tf([9],[1, 2*z(i)*3, 9, 0]);
632 [MAG10, PHASE10]=bode(G10);
633 PHASE10 = PHASE10(1,:)/180 * pi;
634 MAG10= MAG10(1,:);
635 hold on
636 figure(10)
637 polarplot(PHASE10,MAG10,'Linewidth',1.5);
638 title ('Polair diagramma transfer functie 10');
639 end

```

```

640 legend('\zeta = 0.3', '\zeta=0.5', '\zeta=0,7')
641
642 % Polair diagramma tf 11 en tf 12 met z = 0.4 en w = 3
643 Td = 1
644 G11=tf([9],[1, 2*0.4*3, 9]);
645 G12= tf([9],[1, 2*0.4*3, 9], 'InputDelay',Td);
646 w = logspace(0,1,1000)
647
648 %tf 11
649 [MAG11, PHASE11]=bode(G11,w);
650 PHASE11 = PHASE11(1,:)/180 * pi;
651 MAG11= MAG11(1,:);
652 hold on
653 figure(11)
654 polarplot(PHASE11,MAG11,'Linewidth',1.5);
655
656 %tf 12
657 [MAG12, PHASE12]=bode(G12,w);
658 PHASE12 = PHASE12(1,:)/180 * pi;
659 MAG12= MAG12(1,:);
660 hold on
661 figure(11)
662 polarplot(PHASE12,MAG12,'Linewidth',1.5);
663 title ('Polair diagramma transfer functie 11 en 12');
664
665 legend('zonder delay','met delay')
666
667 % bijhorende faseplot
668 figure (12)
669 hold on
670 h = bodeplot(G11);
671 setoptions(h, 'MagVisible', 'off')
672 figure (12)
673 hold on
674 h = bodeplot(G12);
675 setoptions(h, 'MagVisible', 'off')
676 title ('Bijhorende faseplot')
677 ylim([-500 0])
678 legend('zonder delay','met delay')

```